

**Antenne filiformi**  
*(Wire Antennas)*

# Antenne a filo (*wire antennas*)

★ Le **antenne a filo** sono il tipo di antenna più semplice, più economico e più versatile

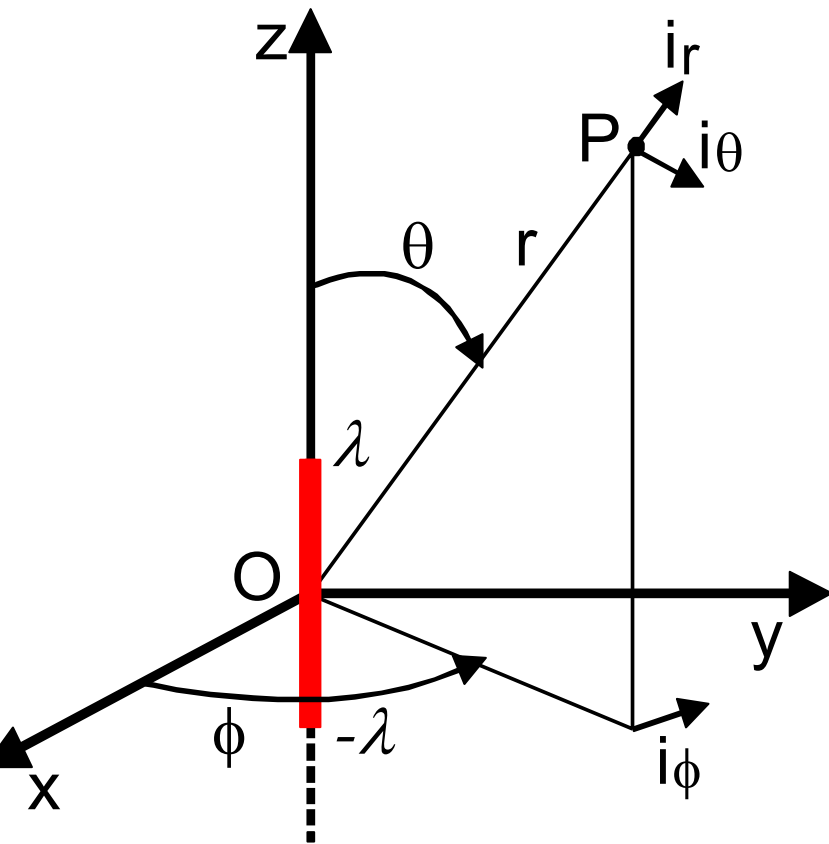
- Dipolo elettromagnetico (dipolo infinitesimo)
- Monopolo elettromagnetico
- Antenne *long-wire*
  - diritte
  - a V

**LINEARI**

- Antenne a spira (o *loop antennas*)
  - Spira puntiforme
  - Spira ad onda intera

**CURVE**

# Dipolo



NOTA1:

lunghezza del dipolo:  $L = 2\lambda$

NOTA2: la scelta del riferimento è arbitraria. **Per comoda convenzione si fissa l'origine nel centro del dipolo e l'asse Z  $\equiv$  asse del dipolo.** Le espressioni delle grandezze dipendono ovviamente da tale scelta (non il loro valore!) FF8

$$\mathbf{J}_i = I(z) \hat{i}_z \text{ per } |z| \leq \lambda$$

NOTA3: il caso particolare  $2\lambda \ll \lambda$  viene usualmente indicato come *dipolo infinitesimo*

8

il valore di campo in un punto P ovviamente non puo' dipendere dalla scelta del sistema di riferimento. Pertanto, al variare del sistema di riferimento, le FORMULE che esprimono il campo in P cambiano (ovviamente) ma in modo che necessariamente il valore del campo resti inalterato.

Franco Fuschini, 26/01/2008

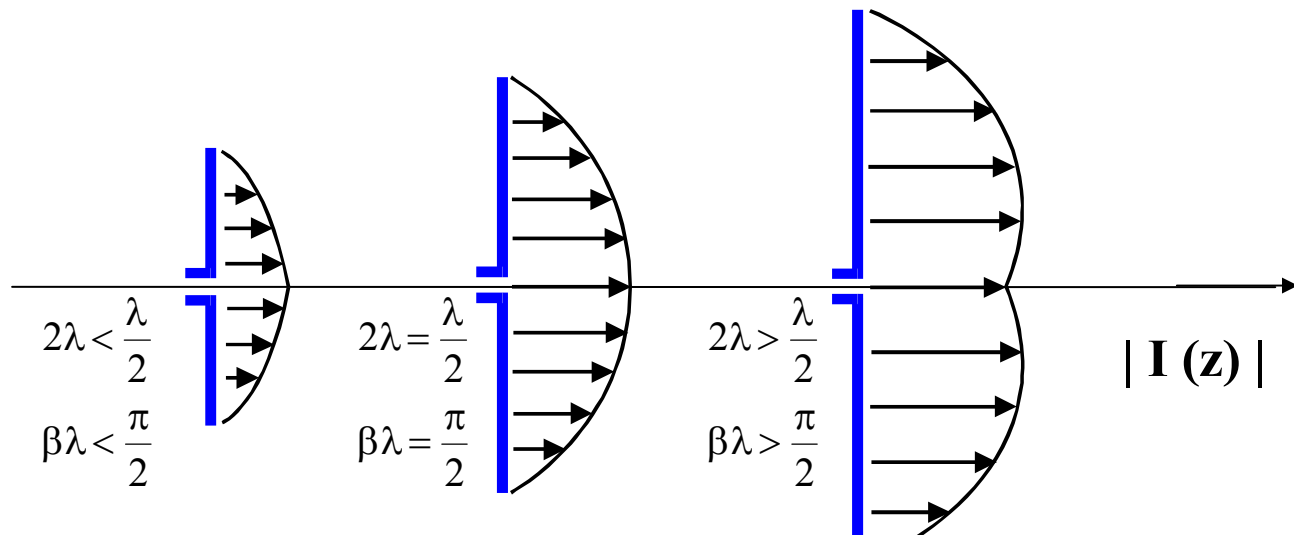
# Dipolo elettromagnetico

Antenna a filo lineare con lunghezza  $2\lambda$  (in pratica sempre  $\leq \lambda$ )

Come si vedrà in seguito, una buona approssimazione della distribuzione di corrente per dipolo EM alimentato centralmente è rappresentata dalla seguente funzione:

$$I(z) = \begin{cases} I_0 \text{sen}[\beta(\lambda - z)], & 0 \leq z \leq \lambda \\ I_0 \text{sen}[\beta(\lambda + z)], & -\lambda \leq z \leq 0 \end{cases}$$

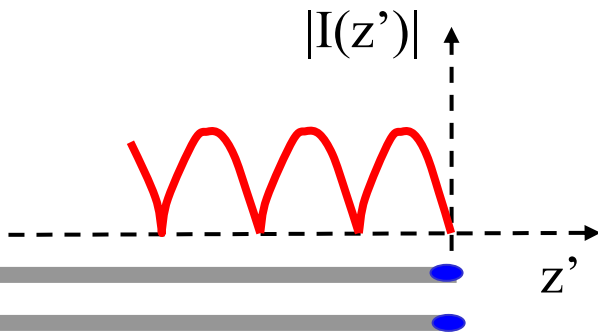
Distribuzione di corrente  
*SINUSOIDALE*



# Giustificazione del modello di corrente (1/3)

- ★ Un dipolo può sempre essere pensato come ottenuto “aprendo” una linea di trasmissione bifilare in circuito aperto (c.a.);
- ★ Come noto, una linea di trasmissione priva di perdite in c.a. è sede di un’onda stazionaria pura con un nodo di corrente al termine della linea;

$$I(z) = \frac{V_0^+}{Z_C} \cdot e^{-j\beta z'} - \frac{V_0^-}{Z_C} \cdot e^{+j\beta z'} = I_0^+ \cdot e^{-j\beta z'} - I_0^- \cdot e^{+j\beta z'}$$

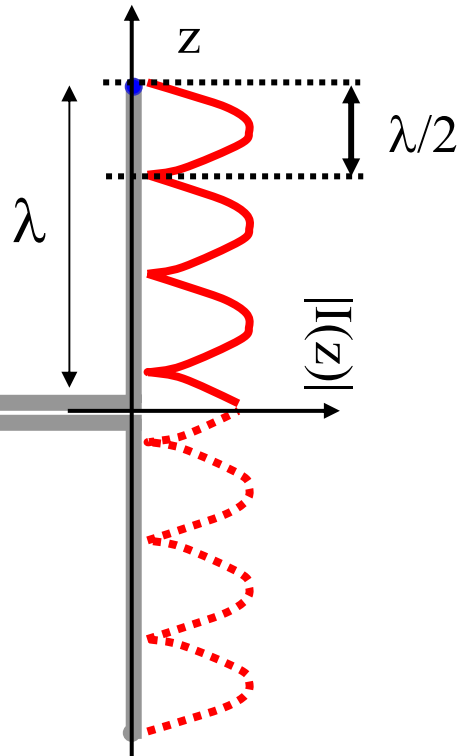


$$I(0) = 0 \Rightarrow I_0^+ = I_0^- = I_C$$

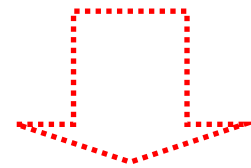
$$I(z') = I_C \cdot (e^{-j\beta z'} - e^{+j\beta z'}) = -2jI_C \cdot \sin(\beta z')$$

# Giustificazione del modello di corrente (2/3)

- ★ Aprendo la linea in corrispondenza della sezione  $z' = -\lambda$  si ottiene un dipolo di lunghezza  $2\lambda$



- ★ Si può assumere che la distribuzione di corrente rimanga inalterata; per ragioni di evidente simmetria, è ragionevole ipotizzare che debba essere  $|\mathbf{I}(-z)| = |\mathbf{I}(z)|$

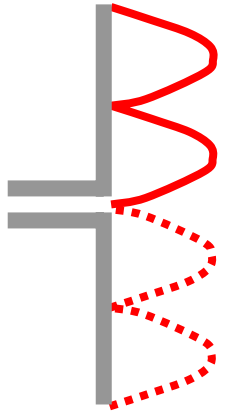


$$I(z) = \frac{1}{2} \frac{2jI_0}{3C} \cdot \sin[\beta(\lambda - |z|)] = I_0 \sin[\beta(\lambda - |z|)]$$

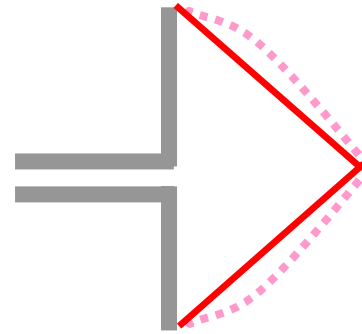
- ★ Il dipolo appartiene alla categoria delle cosiddette Antenne a Onda Stazionaria (*Standing Wave Antennas*)

# Giustificazione del modello di corrente (3/3)

★ Distribuzione di corrente sinusoidale o triangolare:

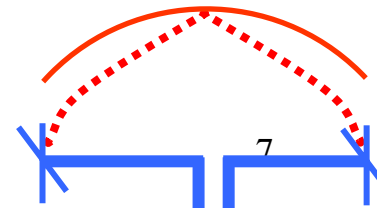


Dipolo EM  
Distribuzione  
SINUSOIDALE



Dipolo Corto  
Distribuzione  $\approx$   
TRIANGOLARE

★ In particolare, nel caso  $2\lambda \ll \lambda$  (**dipolo elementare o infinitesimo**) è lecito supporre  $\mathbf{I}(\mathbf{z}) \approx \mathbf{I}_0$  (al fine di *garantire un valore di  $I_0$  di ampiezza non trascurabile*, si può ipotizzare di introdurre carichi capacitivi alle estremità del dipolo; si ottiene in tal modo  $I(\pm\lambda) \neq 0$  e cioè una distribuzione più uniforme di corrente (è come se il dipolo fosse più lungo di quanto effettivamente non sia)



# Analisi preliminare: dipolo infinitesimo (1/5)

$$\overset{\rho}{\mathbf{J}}_i(\mathbf{z}) \approx I_0 \cdot \hat{\mathbf{i}}_z$$



$$\overset{\rho}{\mathbf{M}}(\theta, \phi) \approx \int_V \overset{\rho}{\mathbf{J}}_i(\mathbf{w}) e^{j\beta \mathbf{w} \cdot \hat{\mathbf{i}}_r} dV = \left( \int_{-\lambda}^{\lambda} I_0 e^{j\beta z \cos \theta} dz \right) \cdot \hat{\mathbf{i}}_z \approx I_0 \cdot 2\lambda \cdot \hat{\mathbf{i}}_z = I_0 \cdot 2\lambda \cdot (\cos \theta \hat{\mathbf{i}}_r - \sin \theta \hat{\mathbf{i}}_\theta)$$



$$\overset{\rho}{\mathbf{E}}(r, \theta, \phi) \approx j\eta \frac{\exp(-j\beta r)}{2\lambda r} I_0 (2\lambda) \text{sen}\theta \hat{\mathbf{i}}_\theta$$

$$\overset{\rho}{\mathbf{H}}(r, \theta, \phi) \approx j \frac{\exp(-j\beta r)}{2\lambda r} I_0 (2\lambda) \text{sen}\theta \hat{\mathbf{i}}_\phi$$

Polarizzazione: **lineare**

## Analisi preliminare: dipolo infinitesimo (2/5)

- ★ Densità di potenza irradiata:  $p(r, \theta) = \frac{\eta}{2} \left( \frac{|I_0| \lambda}{\lambda} \right)^2 \frac{\text{sen}^2 \theta}{r^2}$
- ★ Intensità di radiazione:  $I_R(\theta) = \frac{\eta}{2} \left( \frac{|I_0| \lambda}{\lambda} \right)^2 \text{sen}^2 \theta$
- ★ Potenza irradiata:  $P_{\text{irr}} = \frac{\eta \pi}{3} \cdot \left( \frac{|I_0| \cdot 2\lambda}{\lambda} \right)^2$
- ★ Funzione direttività:  $d(\theta) = \frac{3}{2} \text{sen}^2 \theta \quad D = \frac{3}{2}$
- ★ Funzione di radiazione:  $f(\theta) = | \text{sen}(\theta) |$
- ★ Resistenza di radiazione:  $R_{\text{irr}} = \frac{2}{3} \pi \eta \left( \frac{2\lambda}{\lambda} \right)^2 \approx 80 \pi^2 \left( \frac{2\lambda}{\lambda} \right)^2$
- ★ Vettore di polarizzazione:  $\hat{p}(\theta, \phi) = j \cdot \frac{I_0}{|I_0|} \cdot e^{j(\chi - \beta r)} \cdot \hat{i}_\theta \underset{\chi = \beta r}{=} j \cdot \frac{I_0}{|I_0|} \cdot \hat{i}_\theta$

## Superficie di radiazione

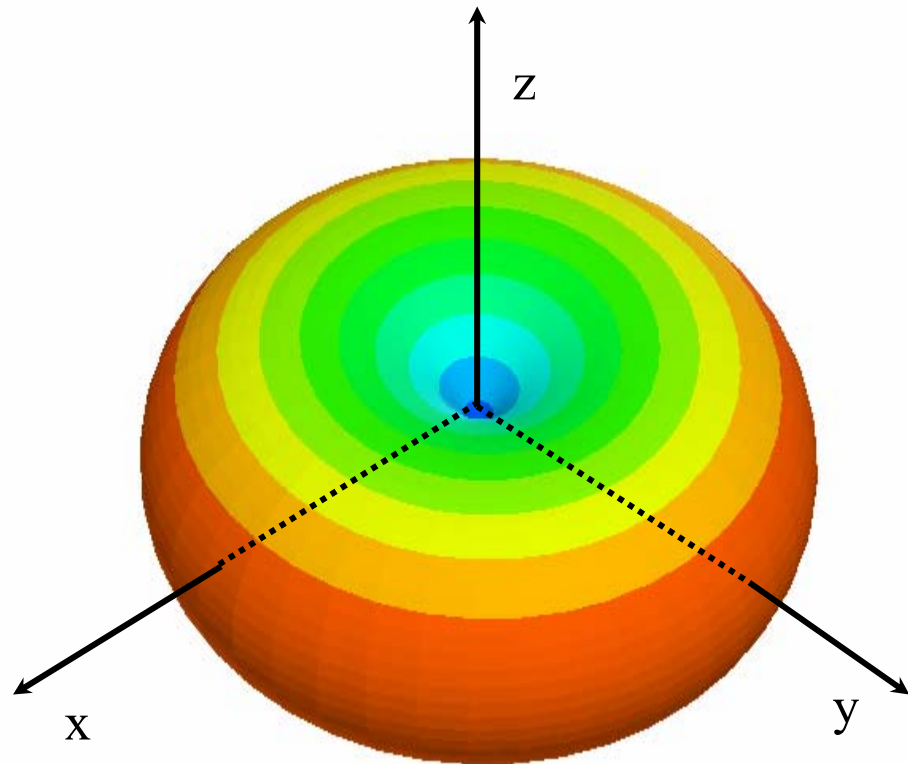
- ★ Superficie di radiazione

$$r = f(\theta) = |\sin\theta|$$

indipendente da  $\phi$



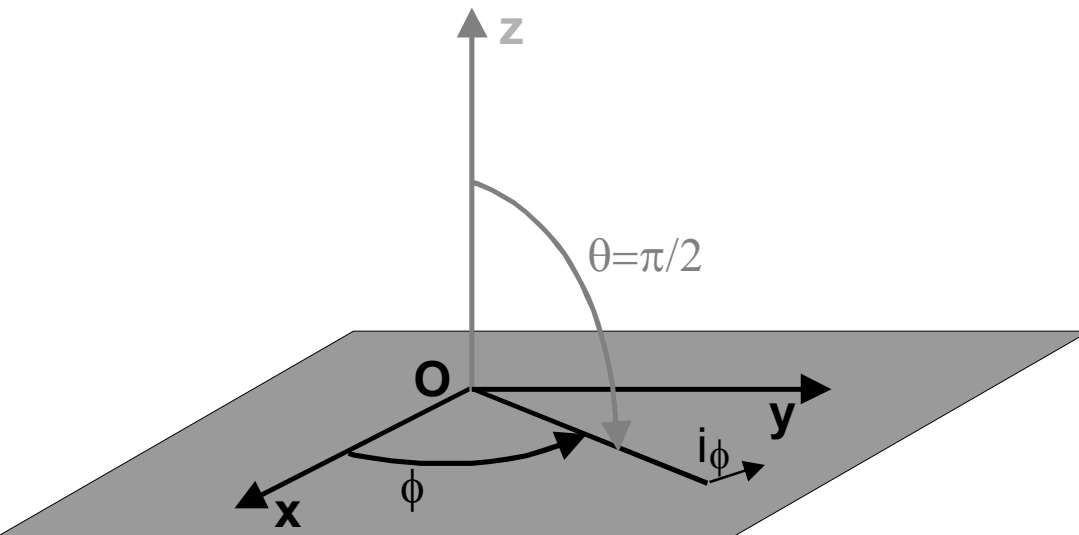
superficie di  
rivoluzione attorno  
all'asse z



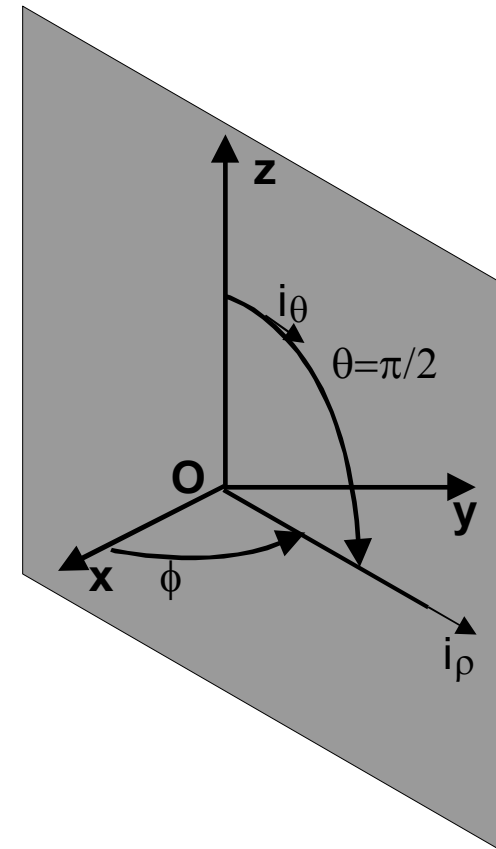
# Analisi preliminare: dipolo infinitesimo (4/5)

## Piani notevoli

$\vec{E}$  e  $\vec{H}$  a polarizzazione rettilinea



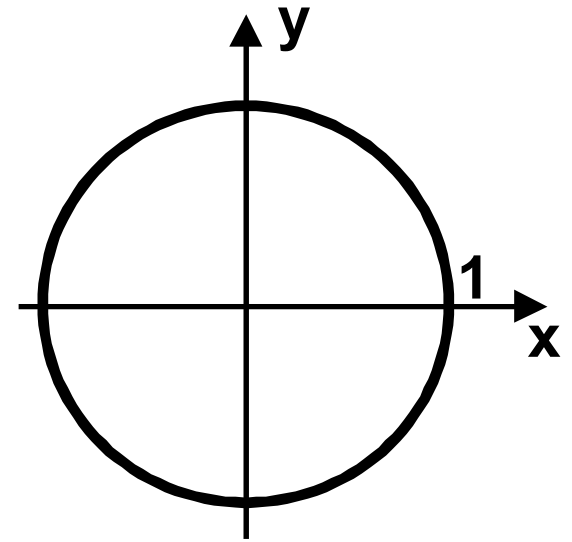
★ Piano H: piano  $\perp$  al dipolo passante per il suo centro (piano x,y)



★ Piano E: qualunque piano contenente l'asse del dipolo (piano  $\rho,z$ )

## Diagrammi di radiazione

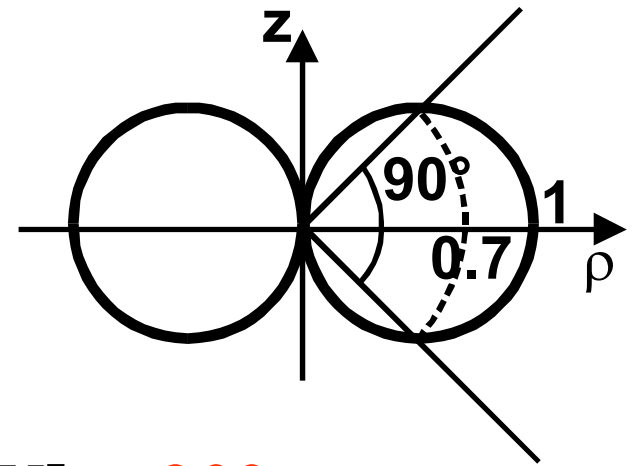
★ Piano H:  $r = \sin(\theta = \pi/2) = 1$   
*omnidirezionale* nel piano H



★ Piano E:  $r = \sin\theta$

$$\rho^2 = r^2 \cdot \sin^2 \theta$$

$$r^2 = \sin^2 \theta = \frac{\rho^2}{r^2} = \frac{\rho^2}{\rho^2 + z^2}$$



★ *Half Power Beam Width* [HPBW] = **90°**

# Dipolo elettromagnetico

L'analisi matematica di un dipolo **NON** infinitesimo richiede identico approccio, formalmente più complicato dalla distribuzione di corrente non più costante

Momento equivalente (nella usuale *approssimazione di campo lontano*):

$$\mathbf{M}(\theta, \phi) \approx \hat{\mathbf{i}}_z \int_{-\lambda}^{\lambda} I(z) e^{j\beta z \cos \theta} dz = 2I_0 \frac{\cos(\beta \lambda \cos \theta) - \cos \beta \lambda}{\beta \sin^2 \theta} \hat{\mathbf{i}}_z = M(\theta) \hat{\mathbf{i}}_z$$

Campo EM lontano irradiato:

$$\begin{cases} \mathbf{E}(\mathbf{P}) \approx j\eta \frac{\exp(-j\beta r)}{2\lambda r} M(\theta) \sin \theta \hat{\mathbf{i}}_\theta \\ \mathbf{H}(\mathbf{P}) \approx j \frac{\exp(-j\beta r)}{2\lambda r} M(\theta) \sin \theta \hat{\mathbf{i}}_\phi \end{cases}$$

Formalmente analogo al dipolo infinitesimo

Polarizzazione lineare, identica al dipolo infinitesimo

... calcoli ...

$$A(\theta, \phi) \approx \hat{i}_z \int_{-\lambda}^{\lambda} I(z) e^{j\beta z \cos \theta} dz = \left[ \int_{-\lambda}^{\lambda} I(z) \cos(\beta z \cos \theta) dz + j \int_{-\lambda}^{\lambda} I(z) \sin(\beta z \cos \theta) dz \right]$$

Poiché la distribuzione di corrente nel dipolo è una funzione pari di  $z \Rightarrow$  la funzione integranda dell'integrale  $I_B$  è dispari, e dunque  $I_B = \mathbf{0}$ . Rimane quindi da calcolare il valore di  $I_A$

$$I_A = \int_{-\lambda}^{\lambda} I(z) \cos(\beta z \cos \theta) dz = 2 \cdot \int_0^{\lambda} I(z) \cos(\beta z \cos \theta) dz$$

funzione integranda pari

$$= 2 I_0 \cdot \int_0^{\lambda} \sin[\beta \cdot (\lambda - z)] \cos(\beta z \cos \theta) dz$$

$$Y = \left[ \frac{\sin(\beta z \cos \theta) \cdot \sin[\beta \cdot (\lambda - z)]}{\beta \cos \theta} \right]_0^{\lambda} - \left( -\frac{\beta}{\beta \cos \theta} \right) \cdot \int_0^{\lambda} \sin(\beta z \cos \theta) \cdot \cos[\beta \cdot (\lambda - z)] dz$$

... calcoli ...

$$Y = \frac{1}{\cos\theta} \cdot \int_0^\lambda \sin(\beta z \cos\theta) \cdot \cos[\beta \cdot (\lambda - z)] dz$$

Integrando nuovamente per parti:

$$Y = \frac{1}{\cos\theta} \left\{ \left[ \frac{-\cos(\beta z \cos\theta) \cdot \cos[\beta \cdot (\lambda - z)]}{\beta \cos\theta} \right]_0^\lambda - \left( -\frac{\beta}{\beta \cos\theta} \right) \cdot \int_0^\lambda \cos(\beta z \cos\theta) \cdot \sin[\beta \cdot (\lambda - z)] dz \right\}$$

Si ottiene quindi:

$$Y = \left[ \frac{\cos(\beta\lambda) - \cos(\beta\lambda \cos\theta)}{\beta \cos^2 \theta} \right] + \frac{1}{\cos^2 \theta} \cdot Y \Rightarrow Y = \frac{\cos(\beta\lambda \cos\theta) - \cos(\beta\lambda)}{\beta \sin^2 \theta}$$

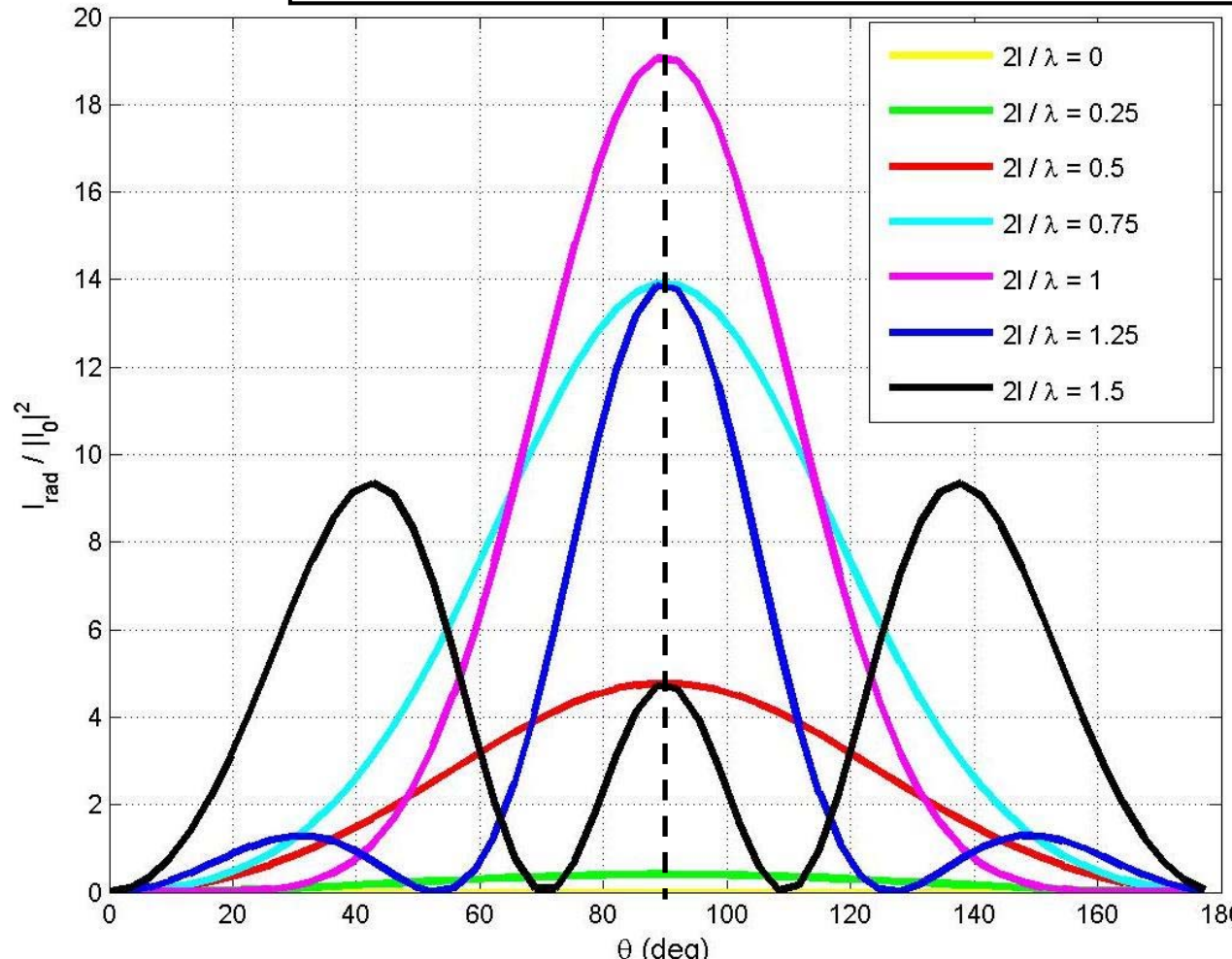
$$\vec{M}(\theta, \phi) = 2I_0 \cdot \frac{\cos(\beta\lambda \cos\theta) - \cos(\beta\lambda)}{\beta \sin^2 \theta} \cdot \hat{i}_z$$

**C.V.D**

# Dipolo EM: Intensità di radiazione (1/2)

★ Intensità di radiazione:

$$I_R(\theta) = \frac{\rho \cdot \rho^*}{2\eta} r^2 = \eta \frac{|I_0|^2}{8\pi^2} \frac{[\cos(\beta\lambda \cos \theta) - \cos \beta\lambda]^2}{\sin^2 \theta}$$



# Dipolo EM: Intensità di radiazione (2/2)

Le caratteristiche di radiazione dipendono dalla lunghezza del dipolo rispetto a  $\lambda$ :

- **caso 1:  $2\lambda \leq \lambda$**

Il comportamento è qualitativamente simile a quello di un dipolo infinitesimo. Risulta pertanto  $\theta_{\text{MAX}} = \pi/2$ ;

- **caso 2:  $2\lambda > \lambda$**

Si osserva l'insorgere di lobi secondari (in direzioni  $\approx 50^\circ$  e  $130^\circ$ ), via via crescenti all'aumentare della lunghezza. Possiamo quindi distinguere 2 ulteriori sotto-casi:

- **caso 2a**: la direzione di massima intensità di radiazione rimane  $\theta_{\text{MAX}} = \pi/2$ ;

- **caso 2b**:  $\theta = \pi/2$  non è più direzione di massima intensità di radiazione

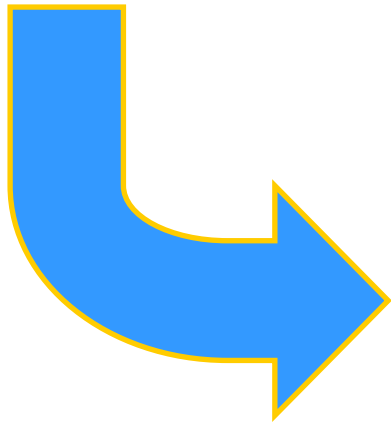
Nei casi 1 e 2a i piani E ed H sono ovviamente gli stessi del dipolo infinitesimo

# Dipolo EM:

## Funzione di radiazione

★ Nei casi 1 e 2a ( $\theta_{MAX}=\pi/2$ ) è possibile calcolare l'espressione della funzione di radiazione in forma chiusa:

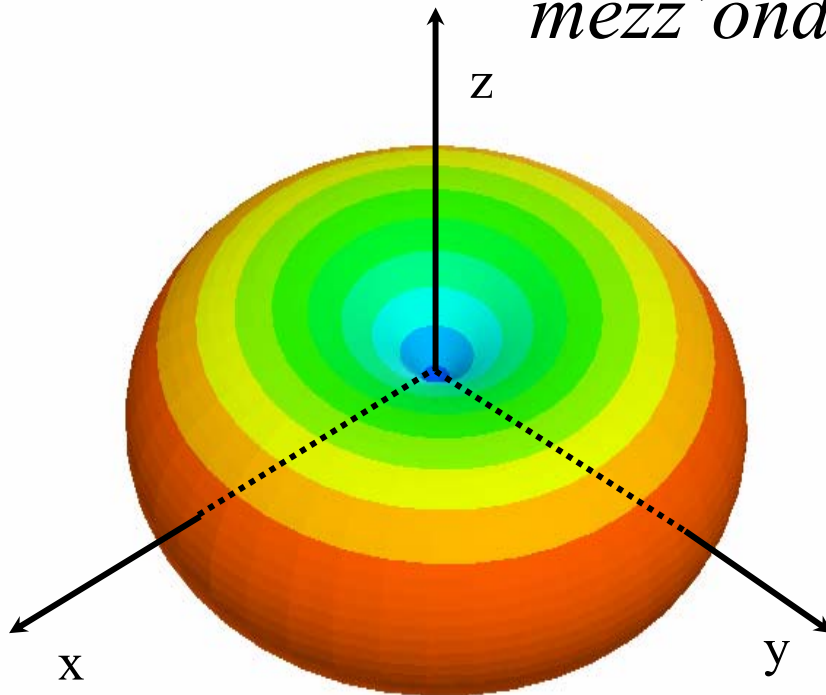
$$I_R^{MAX} = I_R(\pi/2) = \eta \frac{|I_0|^2}{8\pi^2} (1 - \cos\beta\lambda)^2$$



$$f(\theta) = \sqrt{\frac{I_R(\theta)}{I_R^{MAX}}} = \sqrt{\frac{I_R(\theta)}{I_R(\pi/2)}} = \left| \frac{\cos(\beta\lambda\cos\theta) - \cos\beta\lambda}{(1 - \cos\beta\lambda)\sin\theta} \right|$$

# Superficie di radiazione: Caso 1

★ Caso 1:  $2\lambda \leq \lambda$  ( $2\lambda = \lambda/2$   $\longleftrightarrow$  dipolo a mezz'onda):

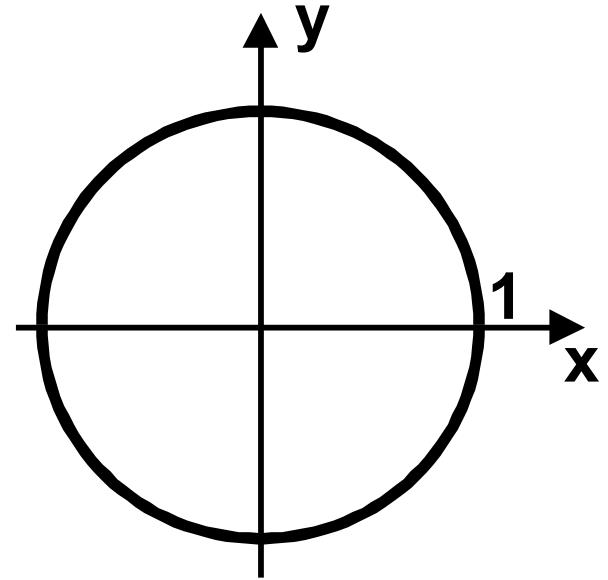


$$f(\theta) = \left| \frac{\cos\left(\frac{\pi}{2} \cos\theta\right)}{\sin\theta} \right|$$

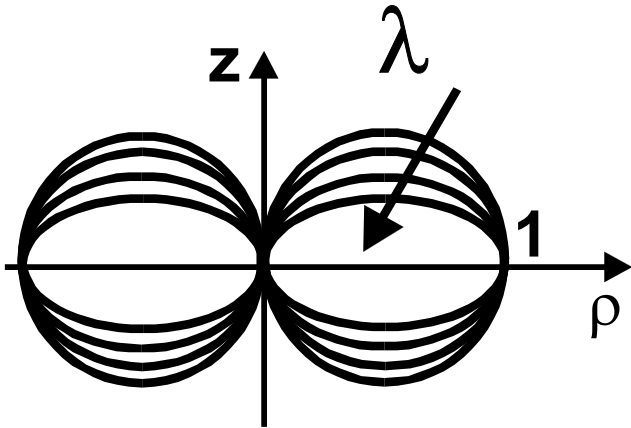
superficie di rivoluzione attorno all'asse z indipendente da  $\phi$   
(del tutto  $\approx$  al dipolo elementare)

# Caso 1: Diagrammi di radiazione

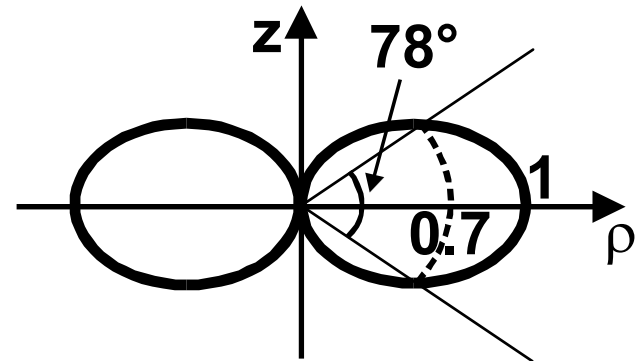
- ★ Piano H:  $r = f(\pi/2) = 1$   
*omnidirezionale* nel piano H  
Utilizzata ad esempio per collegamenti *punto-multipunto*



- ★ Piano E:

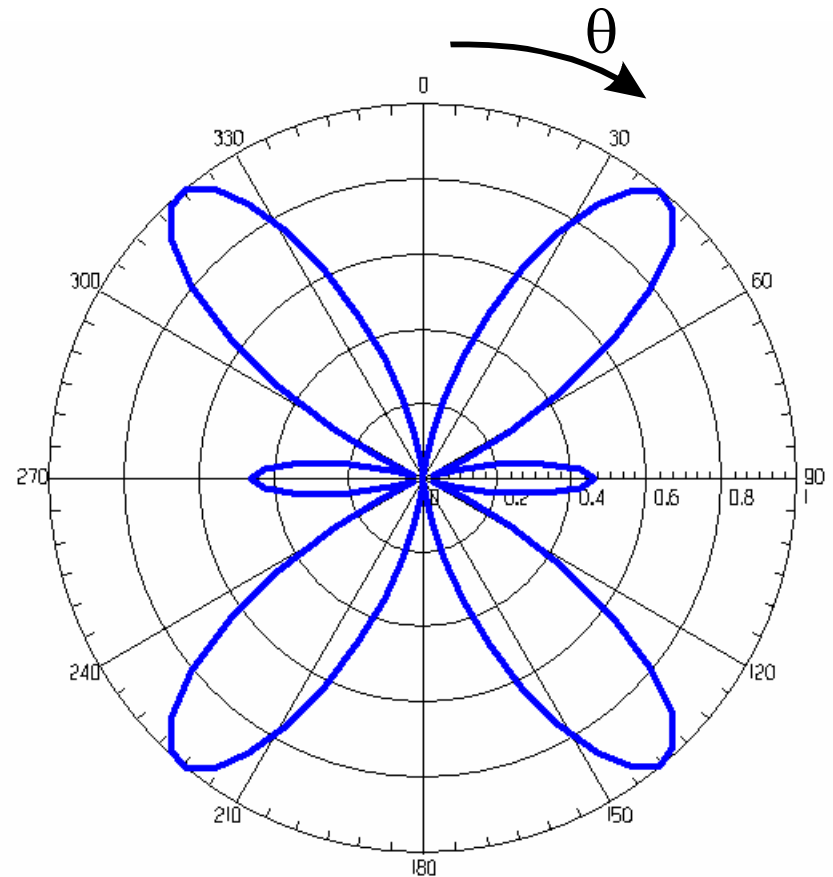
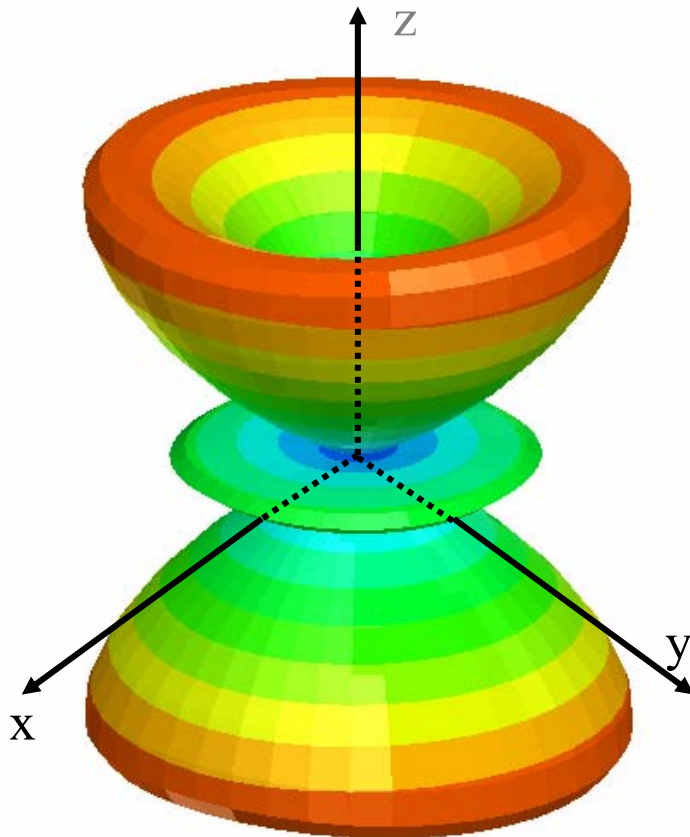


Se  $2\lambda = \lambda/2 \Rightarrow \text{HPBW} \approx 78^\circ$



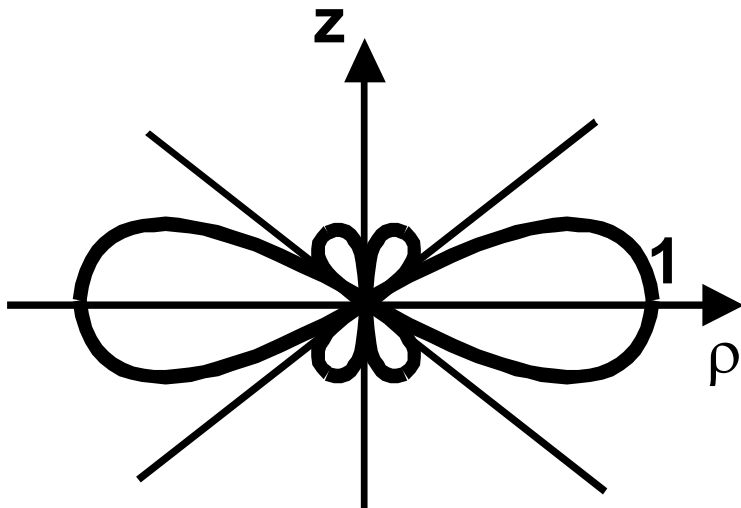
# Superficie di radiazione: Caso 2

- ★ Caso 2: per  $2\lambda > \lambda$  compaiono nuove direzioni di irraggiamento
- ★ Esempio: superficie e diagramma di radiazione per  $2\lambda \cong 1.5\lambda$ :

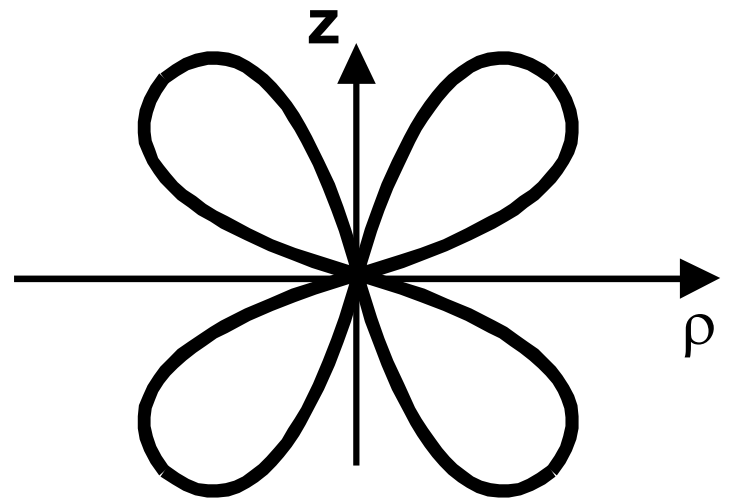


## Caso 2: Diagrammi di radiazione

- ★ Si conserva omnidirezionalità nel piano xy ;
- ★ Nel piano E ( $\forall$  piano contenente il dipolo) si osserva per  $2\lambda > \lambda$  la comparsa di lobi secondari:



$$2\lambda = 1.1\lambda$$

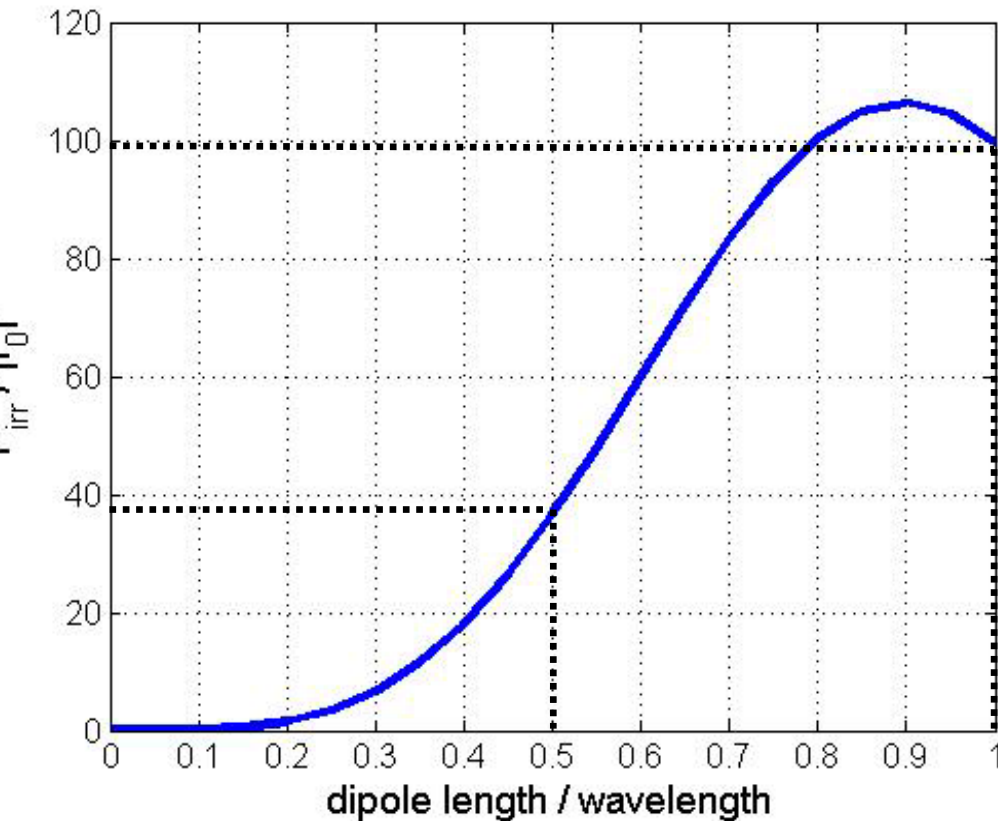


$$2\lambda = 2\lambda$$

# Dipolo EM: Potenza irradiata

★ Per definizione:

$$P_{\text{irr}} = \int_{4\pi} I_{\text{R}} d\Omega = \int_0^{2\pi} d\phi \int_0^{\pi} I_{\text{R}}(\theta) \sin\theta d\theta = \eta \frac{|I_0|^2}{4\pi} \int_0^{\pi} \frac{[\cos(\beta\lambda \cos\theta) - \cos\beta\lambda]^2}{\sin\theta} d\theta$$



non si risolve in forma chiusa, ma solo per via numerica ...



dipolo infinitesimo:

$$P_{\text{irr}} / |I_0|^2 \approx 0$$

dipolo a  $\lambda/2$ :

$$P_{\text{irr}} / |I_0|^2 \approx 36.5$$

dipolo a onda intera:

$$P_{\text{irr}} / |I_0|^2 \approx 99.54$$

# Dipolo EM: **Funzione direttività e Direttività** (1/2)

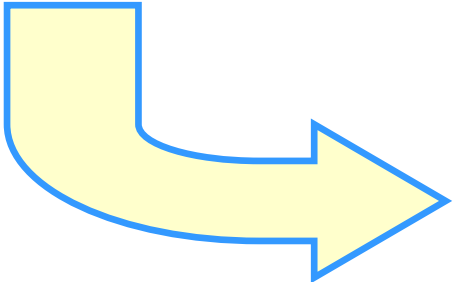
- ★ L'espressione in forma chiusa della funzione  $d(\theta, \phi)$  non può essere ricavata dalla definizione:

$$d(\theta, \phi) = 4\pi \frac{I_R(\theta, \phi)}{P_{\text{irr}}} \longrightarrow \text{non esprimibile in forma chiusa}$$

- ★ Occorre procedere singolarmente nei casi di interesse:

## Esempio 1: dipolo a mezz'onda

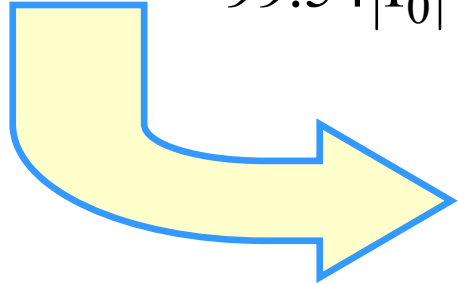
$$d(\theta, \phi) = \frac{4\pi}{36.5 |I_0|^2} \eta \frac{|I_0|^2 \cos^2\left(\frac{\pi}{2} \cos \theta\right)}{8\pi^2 \sin^2 \theta} = 1.64 \frac{\cos^2\left(\frac{\pi}{2} \cos \theta\right)}{\sin^2 \theta}$$


$$D = d(\theta = \pi/2) = 1.64 \quad (2.15 \text{ dB})$$

# Dipolo EM: **Funzione direttività e Direttività (2/2)**

Esempio2: **dipolo a onda intera**

$$d(\theta, \phi) = \frac{4\pi}{99.54|I_0|^2} \eta \frac{|I_0|^2}{8\pi^2} \frac{(\cos(\pi \cos \theta) + 1)^2}{\sin^2 \theta} = 0.6 \frac{(\cos(\pi \cos \theta) + 1)^2}{\sin^2 \theta}$$



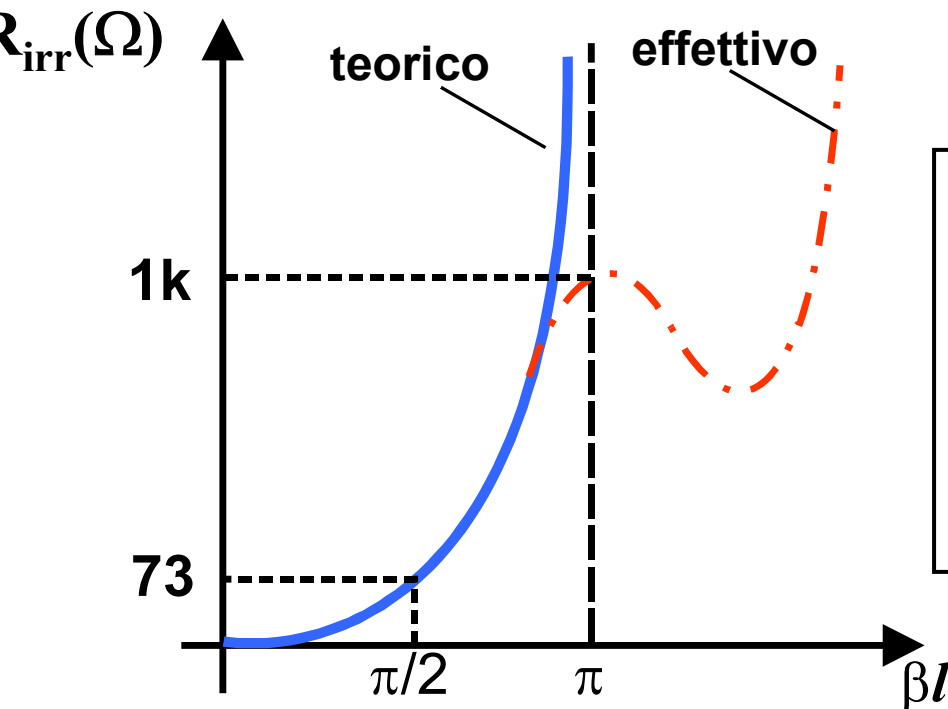
$$D = d(\theta = \pi/2) = 2.41 \quad (3.82 \text{ dB})$$

# Dipolo EM: Resistenza di Radiazione

Potenza attiva irradiata (sorgente estesa):

$$P_{\text{irr}} = \eta \frac{|I_0|^2}{4\pi} \int_0^\pi \frac{[\cos(\beta\lambda \cos \theta) - \cos \beta\lambda]^2}{\sin \theta} d\theta$$

Resistenza di radiazione:  $R_{\text{irr}} = \frac{2P_{\text{irr}}}{|I_0|^2 \sin^2 \beta l}$

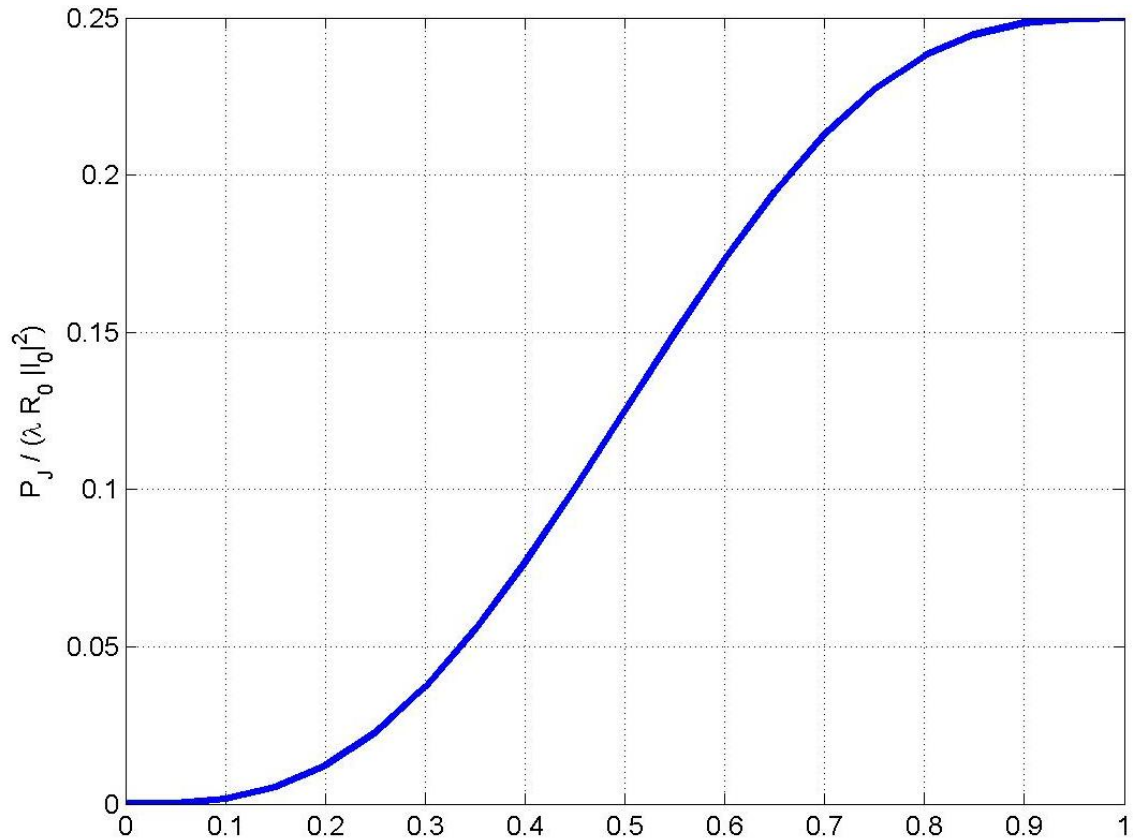


- dipolo *elementare*:  $R_{\text{irr}} \approx 0 \Omega$
  - dipolo *a mezz'onda*:  $R_{\text{irr}} \approx 73 \Omega$
  - dipolo *ad onda intera*:  $R_{\text{irr}} \approx \infty$
- (valore reale:  $R_{\text{irr}} \approx 1 \text{ k}\Omega$ )

# Dipolo EM: Resistenza di Perdita (1/2)

–  $R_0$  : resistenza per unità di lunghezza ( $\Omega/m$ )

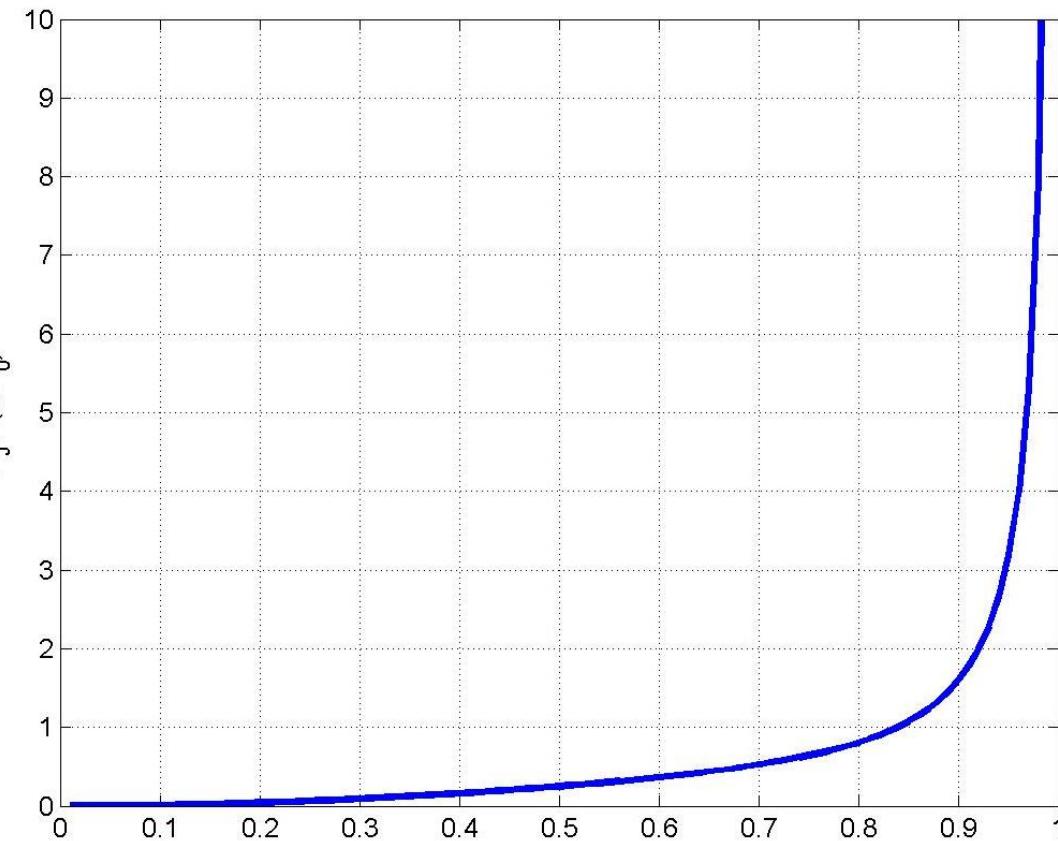
– 
$$P_J = \frac{1}{2} R_0 \int_{-\lambda}^{\lambda} |I(z)|^2 dz = \frac{1}{2} R_0 \lambda |I_0|^2 \left( 1 - \frac{\text{sen } 2\beta\lambda}{2\beta\lambda} \right)$$
 potenza dissipata in antenna



# Dipolo EM: Resistenza di Perdita (2/2)

-  $R_J$  : resistenza di perdita

$$R_J = \frac{2P_J}{|I_0|^2 \sin^2 \beta\lambda} = \frac{R_0 \lambda}{\sin^2 \beta\lambda} \left( 1 - \frac{\sin 2\beta\lambda}{2\beta\lambda} \right)$$



$\beta\lambda = \pi$ :  $R_j = \infty$   
(valore reale ~ decine di  $\Omega$ )

$\beta\lambda = \pi/2$  :  $R_j = R_0 \frac{\lambda}{4}$

$\beta\lambda \rightarrow 0$   $R_j \approx \frac{2}{3} R_0 \lambda$

# Dipolo EM: Rendimento

Per definizione:  $\delta = \frac{R_{\text{irr}}}{R_{\text{irr}} + R_j}$

Antenna di esclusiva  
utilità didattica, del tutto  
inutile in pratica

★ **Dipolo elementare:**

- $R_j = R_0 \lambda^{2/3} \rightarrow 0$  come  $\lambda$
- $R_{\text{irr}} \approx 80 \pi^2 \left(\frac{2\lambda}{\lambda}\right)^2 \rightarrow 0$  come  $\lambda^2$

$$\delta = \frac{R_{\text{irr}}}{R_{\text{irr}} + R_j} \rightarrow 0$$

★ **Dipolo EM:**

$$\delta = \frac{\frac{2P_{\text{irr}}}{|I_0|^2}}{\frac{2P_{\text{irr}}}{|I_0|^2} + R_0 \lambda \left(1 - \frac{\sin(2\beta\lambda)}{2\beta\lambda}\right)}$$

dipolo a mezz'onda

$$\delta = \frac{73}{73 + R_0 \frac{\lambda}{4}} \approx 1$$

dipolo a onda intera

$$\delta = \frac{199.16}{199.16 + R_0 \frac{\lambda}{2}} \approx$$

# Dipolo EM: **Area efficace**

★ Nei casi in cui  $\delta \approx 1 \Rightarrow a_e(\theta) = \delta \cdot d(\theta) \frac{\lambda^2}{4\pi} \approx d(\theta) \frac{\lambda^2}{4\pi}$

Esempio: dipolo a mezz'onda:

$$a_e(\theta) = \frac{\lambda^2}{4\pi} \cdot 1.64 \frac{\cos^2\left(\frac{\pi}{2} \cos \theta\right)}{\sin^2 \theta}$$

★ Poiché  $D$  è (quasi) indipendente da  $\lambda \Rightarrow A_e$  varia con  $f \sim$   
come  $1/f^2 \Rightarrow$  si tratta di antenne utilizzate (in ricezione) a  
frequenze relativamente basse

# Riepilogo risultati – Modello Matematico

Modello teorico (matematico):

1. distribuzione di corrente sinusoidale;
2. considera solo la lunghezza del dipolo ma non il suo spessore;

$2\lambda$	HPBW( $^{\circ}$ )	D	$R_{\text{irr}} (\Omega)$	$\delta$
$1.00\lambda$	47	2.41 (3.82 dB)	$\infty$	$\sim 1$
$0.50\lambda$	78	1.64 (2.15 dB)	$\approx 73$	$\sim 1$
$\rightarrow 0$	90	1.50 (1.76 dB)	$790 \left( \frac{2\lambda}{\lambda} \right) \rightarrow 0$	$\sim 0$

# Dipolo EM: Impedenza d'Antenna (1/2)

In generale  $Z_A = (R_{irr} + R_J) + jX_A \Rightarrow$  il valore completo ed affidabile di  $Z_A$  non può essere ottenuto con il modello matematico ma solo tramite opportuna simulazione EM, che consideri anche l'effettivo spessore del dipolo;

Esempio: considerando una sezione circolare di raggio  $a = 0.001 \lambda$  si ottengono i seguenti risultati:

$$2\lambda = 0.1 \lambda \Rightarrow Z_A = 2.26 - j1195$$

$$2\lambda = 0.5 \lambda \Rightarrow Z_A = 86.8 + j49.8$$

$$2\lambda = \lambda \Rightarrow Z_A = 959 - j1120$$

valori ottenuti con 4Nec  
alla frequenza  $f_0 = 1 \text{ GHz}$

FF9

In molti casi ai morsetti del dipolo è collegato un cavo coassiale a basse perdite (valore tipico di impedenza caratteristica  $Z_C = R_C \approx 75 \Omega$ )

FF11

9

dati della simulazione:

1) frequenza = 1 GHz ( $\lambda = 30$  cm)

2) raggio =  $0.01 \lambda = 0.3$  mm

3) gap di 4 mm - 1 segmento

4)  $L = \lambda \rightarrow 40$  segmenti per ogni ramo

5)  $L = 0.5 \lambda \rightarrow 20$  segmenti per ramo

6)  $L = 0.474 \lambda \rightarrow 20$  segmenti per ramo

7)  $L = 0.1 \lambda \rightarrow 4$  segmenti per ramo

Franco Fuschini, 29/01/2008

11

75 ohm e' il classico caso del cavo coassiale da Televisore, in effetti piuttosto frequente.

Esistono tuttavia anche altre possibilita'. Ad esempio 50 ohm, rispetto ai quali comunque un dipolo da 75 ohm circa conserva un buon adattamento ( $\rho_D = 0.96$ )

Franco Fuschini, 31/01/2008

# Dipolo EM: **Impedenza d'Antenna** (2/2)

Condizione di adattamento (uniformità e potenza):

1. Dipolo elementare/ad onda intera: pessimo adattamento
2. Il dipolo a mezz'onda offre invece una situazione più favorevole, benché non ottimale ( $Z_A \approx 86.8 + j 49.8$ ). Un netto miglioramento può essere ottenuto accorciando leggermente il dipolo, in modo da ottenere la *condizione di risonanza*:

$$Z_A = 86.8 + j49.8 \xrightarrow{2\lambda=0.474\lambda} Z_A = 73.3 - j0.32 \approx 73 = R_C$$

L'effettiva lunghezza di risonanza dipende dal valore del raggio  $a$  ed in generale è sempre compresa nell'intervallo  $[0.47\lambda \div 0.48\lambda]$  (tende a  $0.5 \lambda$  per  $a \rightarrow 0$ );

Un dipolo risonante ha sempre  $Z_A \approx 75 \Omega$  e pertanto può essere alimentato in maniera ottimale tramite una linea di trasmissione a senza perdite (in pratica, a basse perdite) senza l'impiego di adattatori di impedenza. Per questa ragione, la maggior parte delle applicazioni tradizionali utilizzano dipoli risonanti

# Risultati numerici (riepilogo)

La simulazione elettromagnetica permette ovviamente di caratterizzare il dipolo in maniera completa. Ad esempio:

$2\lambda$	D	$Z_A(\Omega)$
$1.00\lambda$	2.46 (3.91 dB)	959-j 1120
$0.50\lambda$	1.65 (2.18 dB)	86.8+j 49.8
$\approx 0.474\lambda$	1.63 (2.13 dB)	<b>73</b>
$0.1\lambda$	1.46 (1.64 dB)	2.26-j 1195

valori ottenuti  
con 4Nec  
alla frequenza  
 $f_0 = 1\text{ GHz}$

Valori ottenuti tramite simulazione EM con  $a = 0.001\lambda$

Confrontando i valori ottenuti con quelli ottenuti per via analitica, si può affermare che il modello matematico risulta abbastanza affidabile e le grandezze ottenibili attraverso di esso sono senz'altro utilizzabili per una caratterizzazione di massima dell'antenna.

Il parametro più critico risulta essere la resistenza di radiazione.

# Esempio

★ Radiodiffusione AM:  $f = 1 \text{ MHz}$    $\lambda = 300 \text{ m}$

–  $R_0 = R_s / 2\pi a$  ;  $a = \text{raggio antenna}$  ;  $R_s \approx 1.4 \text{ m}\Omega$

**Dipolo a mezz'onda:  $2\lambda = \lambda/2 = 150 \text{ m}$**

–  $R_J = R_0 \lambda \approx 0.1 \Omega$  (se  $a \approx 15 \text{ cm}$ )

–  $\delta \approx \frac{73}{73 + 0.1} \approx 99.86\%$

**Antenna d'auto:  $2\lambda = 1 \text{ m} \ll \lambda$  : dipolo infinitesimo**

–  $R_J = R_0 \lambda \frac{2}{3} = 74.3 \text{ m}\Omega$  (se  $a \approx 2 \text{ mm}$ )

–  $R_T = \frac{2}{3} \pi \eta \left( \frac{2\lambda}{\lambda} \right)^2 = 8.77 \text{ m}\Omega$

–  $\delta \approx 0.1$  (10%)

# Dipolo EM: Banda operativa (1/2)

**Esempio:** dipolo di lunghezza  $2\lambda$  ed  $a = 0.001\lambda$  chiuso (ad esempio) su di una linea di trasmissione di impedenza caratteristica  $Z_C = 75 \Omega$ .

- sia  $f_a$  la frequenza di risonanza (alla quale cioè  $2\lambda = 0.474\lambda_a$ ):  
 $Z_A(f_a) \approx 73 \Rightarrow s(f_a) \equiv 20 \cdot \log_{10} \frac{|73 - 75|}{|73 + 75|} = -37.4 \text{ dB} \Rightarrow f_a \in B$

- sia  $f_b$  la frequenza alla quale  $2\lambda = 0.5\lambda_b$ :  
 $Z_A(f_b) = 86.8 + j49.8 \Rightarrow s(f_b) = 20 \cdot \log_{10} \frac{\sqrt{11.6^2 + 48.8^2}}{\sqrt{161.6^2 + 48.8^2}} \approx -10.4 \text{ dB}$

$f_b$  si colloca già al margine della banda operativa

$$\frac{f_b}{f_a} = \frac{\lambda_a}{\lambda_b} = \frac{0.5}{0.474} \approx 1.05$$

In termini relativi  $f_b$  differisce dalla frequenza di risonanza  $f_a$  per  $\approx 5\%$

Generalizzando l'esempio, si può concludere che il dipolo è una antenna a "banda stretta". Di norma, risulta  $B_r \leq 10\%$

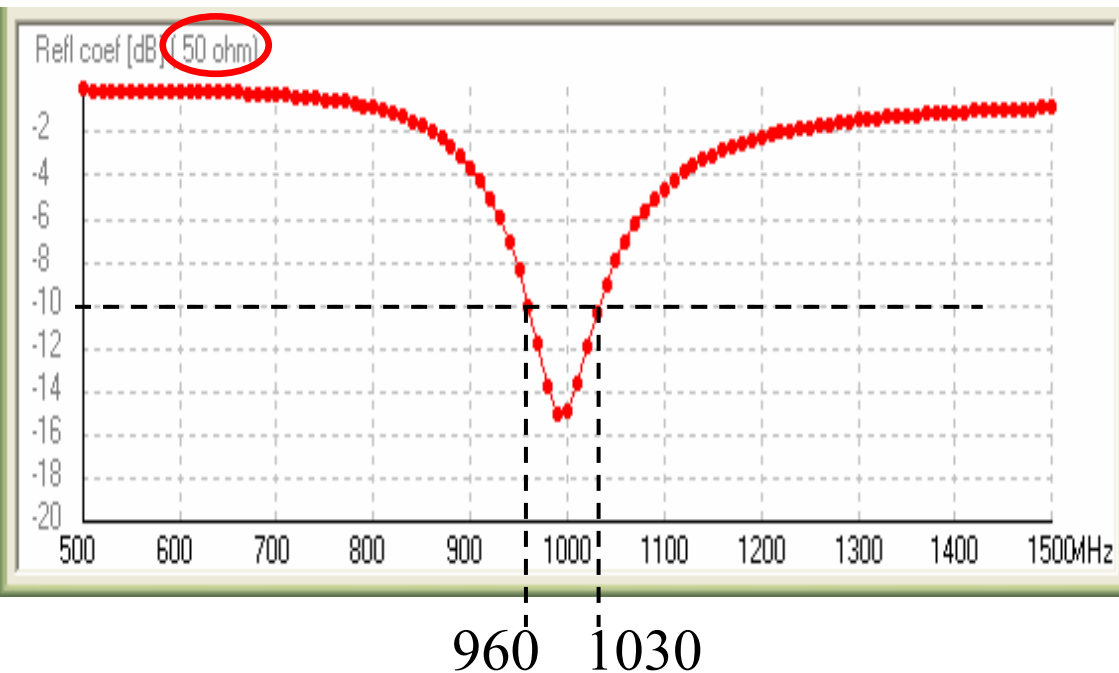
# Dipolo EM: Banda operativa (2/2)

Come noto, una valutazione della banda operativa può essere ricavata a partire dall'andamento in frequenza del quadrato del modulo della riflettanza  $\rho_A$

Esempio:

frequenza  $f_0 = 1 \text{ GHz} \Rightarrow \lambda_0 = 0.3 \text{ m}$ ;

dipolo di lunghezza  $2\lambda = 0.474 \lambda_0 = 0.1422 \text{ m}$



Banda operativa  $\approx 70 \text{ MHz}$

Banda operativa  $\approx 7\% f_0$

risultati ottenuti  
con 4Nec

NOTA:  $Z_C = 50 \Omega$

FF12

12

$Z_c = 50 \text{ ohm}$  e' il valore di impedenza chiuso ai morsetti del dipolo considerato da CST. Questa e' la ragione per cui il refl coeff alla freq di risonanza (1 GHz) vale circa -15 dB e non -37.4 come calcolato nel lucido precedente, in cui si era ipotizzata una impedenza ai morsetti di 75 ohm

Franco Fuschini, 07/02/2008

# Dipoli “caricati” (1/3)

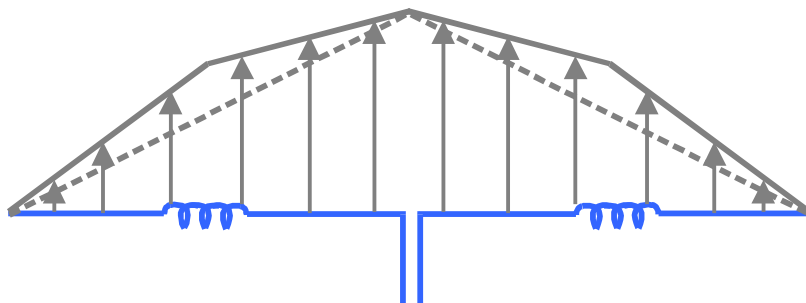
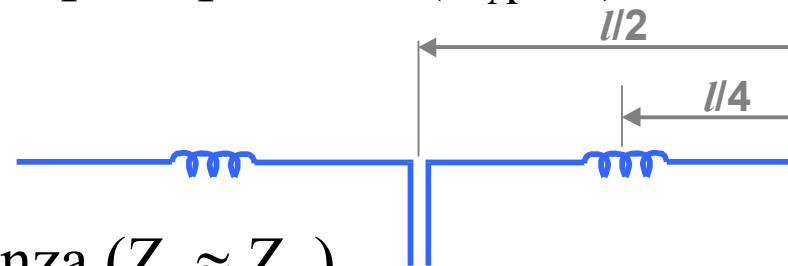
★ Basse frequenze  $\rightarrow \lambda/2$  molto grande  $\Rightarrow$  dipolo in mezz'onda non sempre è praticamente realizzabile

★ Riduzione della lunghezza del dipolo:

- drastico calo della resistenza di radiazione
- comparsa di reattanza d'antenna di tipo capacitivo ( $X_A < 0$ )

★ Introduzione di induttanze:

- Si ristabilisce condizione di risonanza ( $Z_A \approx Z_C$ )
- distribuzione più uniforme di corrente

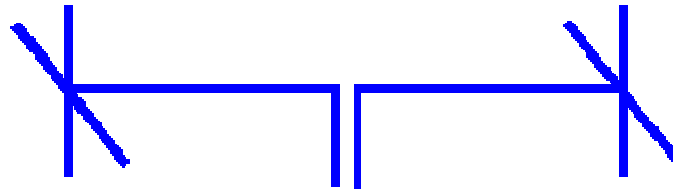


$$R_{\text{irr}} \uparrow$$

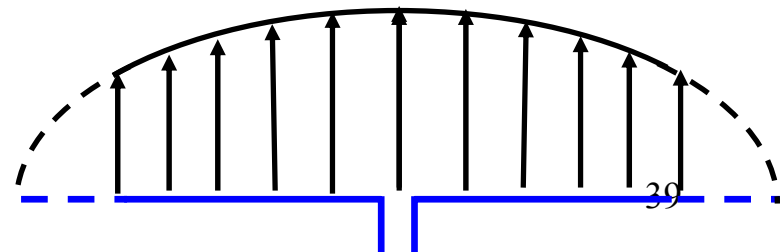
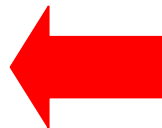
# Dipoli “caricati” (2/3)

## ★ Introduzione di carichi capacitivi:

Gli stessi effetti possono essere ottenuti introducendo delle capacità alle estremità del dipolo (ad es. 4 o più conduttori  $\perp$  al dipolo, oppure semplici dischetti metallici)



Con l’aggiunta di carichi capacitivi la corrente  $I(z)$  non si annulla più alle estremità, il che corrisponde ad un “allungamento virtuale” del dipolo, e dunque ad una maggiore uniformità nella distribuzione di corrente



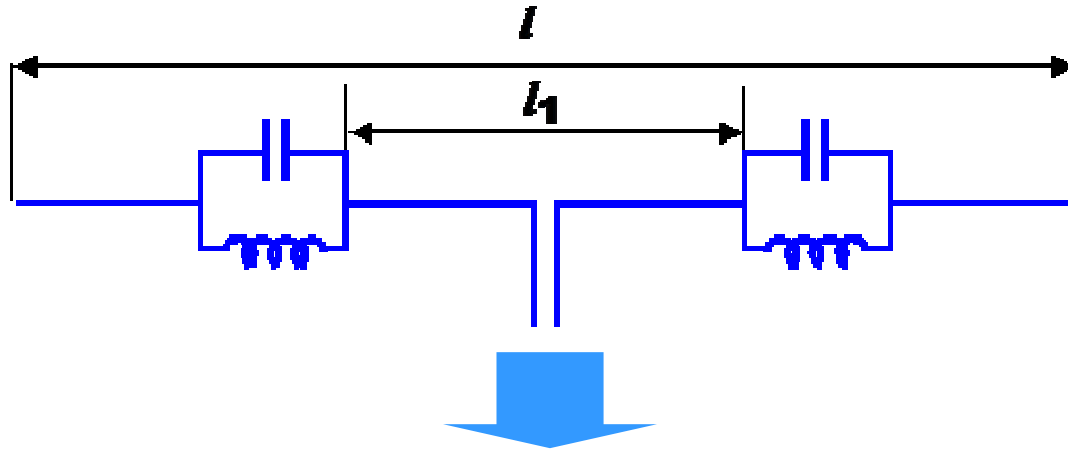
# Dipoli “caricati” (3/3)

★ Esempi: radiodiffusione, impianti radio-amatoriali, ecc.



# Dipoli multibanda

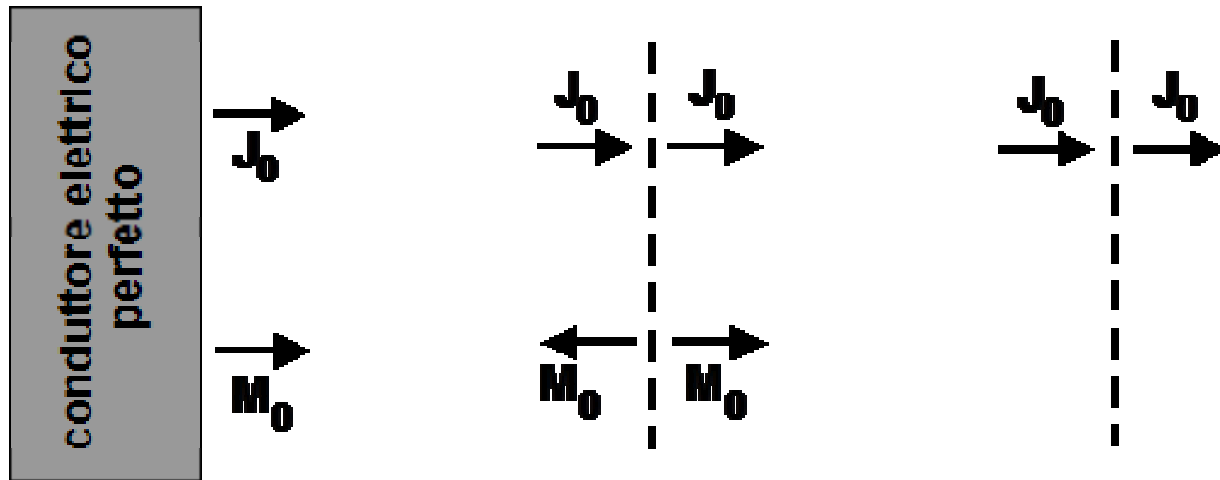
- ★ A partire da (lunghi) dipoli si possono ottenere *dipoli multi-banda*



- circuito LC dimensionato in modo che risuoni alla frequenza  $f_1$  t.c.:  $L_1 = \lambda_1/2$  (la restante parte di dipolo è isolata)
- in corrispondenza di alcune frequenze più basse il circuito LC si comporta da carico induttivo, facendo risuonare il dipolo di lunghezza  $L$

# Monopolo

- ★ Antenna a filo lineare, pari alla metà di un dipolo: il funzionamento si basa sul teorema delle immagini



- ★ Un conduttore di lunghezza  $\lambda \perp$  al terreno corrisponde quindi ad un dipolo di lunghezza  $2\lambda$  (Hp: terreno conduttore elettrico perfetto)
- ★ Esempio:  $f = 1\text{MHz} \Rightarrow \lambda = 300\text{m}$ .  
dipolo a mezz'onda  $\sim 150\text{ m}$  ; monopolo  $\sim 75\text{ m}$
- ★ Monopolo più sfruttato:  $\lambda = \lambda/4$  (ovviamente)

# Monopolo

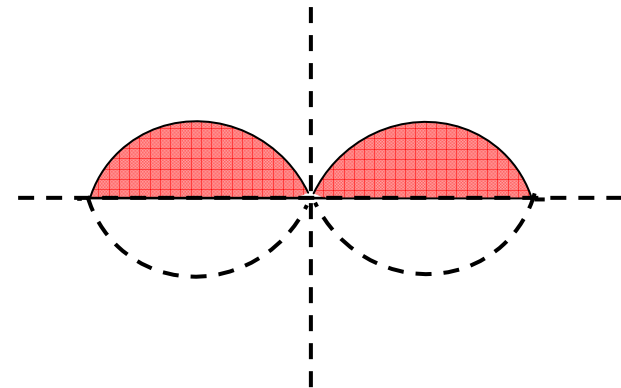
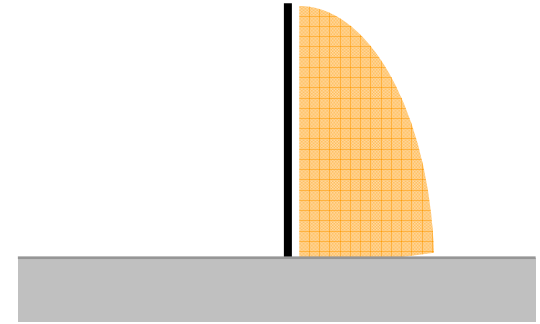
A parità di corrente è facile verificare che:

$$\star I_r^M(\theta, \phi) = \begin{cases} I_r^{\text{Dip}}(\theta, \phi) & \text{fuori dal conduttore} \\ 0 & \text{all'interno del conduttore} \end{cases}$$

$$\star P_{\text{irr}}^M = 1/2 P_{\text{irr}}^{\text{Dip}}$$

$$\star D^M = 2 \cdot D^{\text{dip}}$$

$$\star R_{\text{irr}}^M = 1/2 R_{\text{irr}}^{\text{Dip}}$$



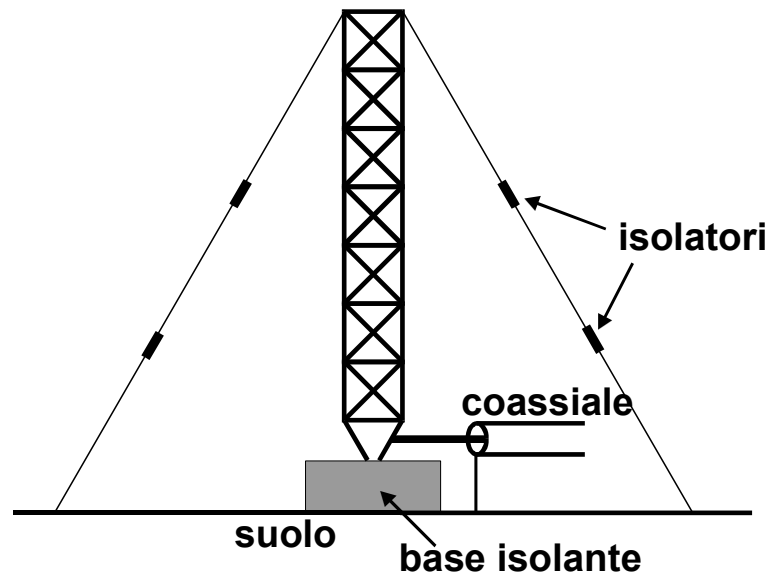
Esempio: monopolo a quarto d'onda ( $\equiv$  dipolo a mezz'onda)

$$D \approx G = 2 \cdot 1,64 = 3,28 \quad (= 5,15 \text{ dB})$$

$$R_{\text{irr}} \approx 73/2 = 36.5 \Omega$$

# Monopolo- Antenna Marconi

- ★ Il suolo in realtà non è un buon conduttore, il che incide negativamente sull'efficienza del monopolo
- ★ Piano di massa = stella di circa 120 fili di lunghezza  $\sim \lambda/2$  sepolti ad una profondità di  $\sim 30-40$  cm sotto terra (sistema di terra)  $\Rightarrow \delta \approx 95\%$  (*antenna marconiana*)



## Esempio

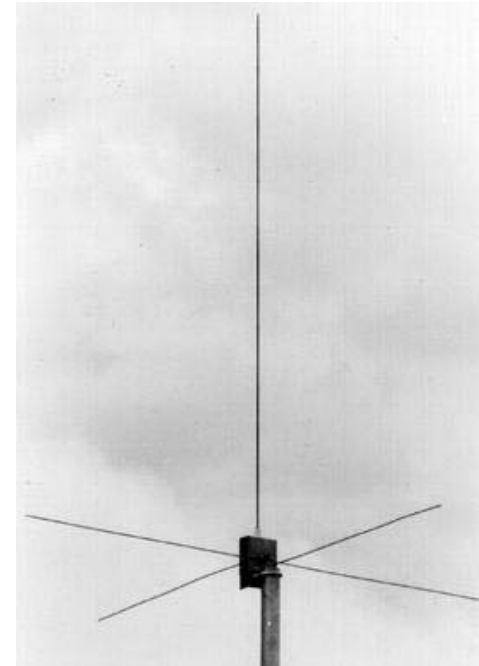
Antenne usate per  
radiodiffusione AM  
( 0,5÷1,5 MHz )

# Esempio: Centro Trasmittente a Onde Medie di Budrio (BO)



# Monopolo- Antenne *Ground Plane*

- ★ In alcune realizzazioni del monopolo, il piano di massa è semplicemente “simulato” per mezzo di conduttori disposti alla base del monopolo in direzione radiale ( $R_{\text{irr}} \sim 36 \Omega$ )



- ★ Per aumentare il valore di  $R_{\text{irr}}$  i conduttori del piano di massa vengono inclinati a formare un angolo di  $\sim 120^\circ$  con il monopolo.  
In tal modo si può ottenere  $R_{\text{irr}} \sim 50 \Omega$

## Osservazione: antenne “*dipole - like*”

Il dipolo filiforme rettilineo:

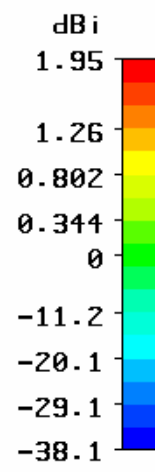
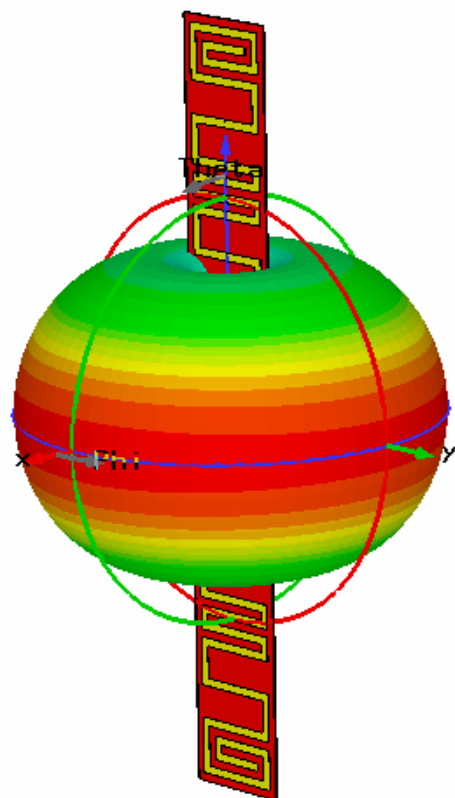
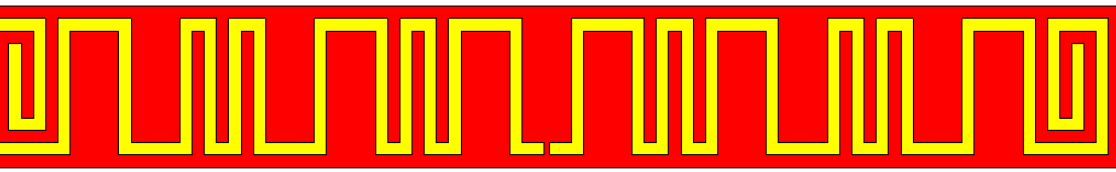
- largamente utilizzato in molte applicazioni
- si presta ad essere studiato per mezzo di modelli analitici relativamente semplici e sufficientemente affidabili (come si è visto)

Esistono tuttavia molte altre tipologie di antenne non filiformi e/o non rettilinee caratterizzate da un comportamento del tutto analogo a quello del dipolo:

- utilizzate in applicazioni particolari (in cui ad esempio le dimensioni delle antenne devono essere particolarmente contenute – es. RFID)
- non sono suscettibili di una semplice descrizione analitica e debbono quindi necessariamente essere caratterizzate tramite opportuna simulazione elettromagnetica;

# Esempio 1 : “meandro” (1/3)

Applicazione: sistemi  
RFID passivi in banda  
UHF (870 MHz)

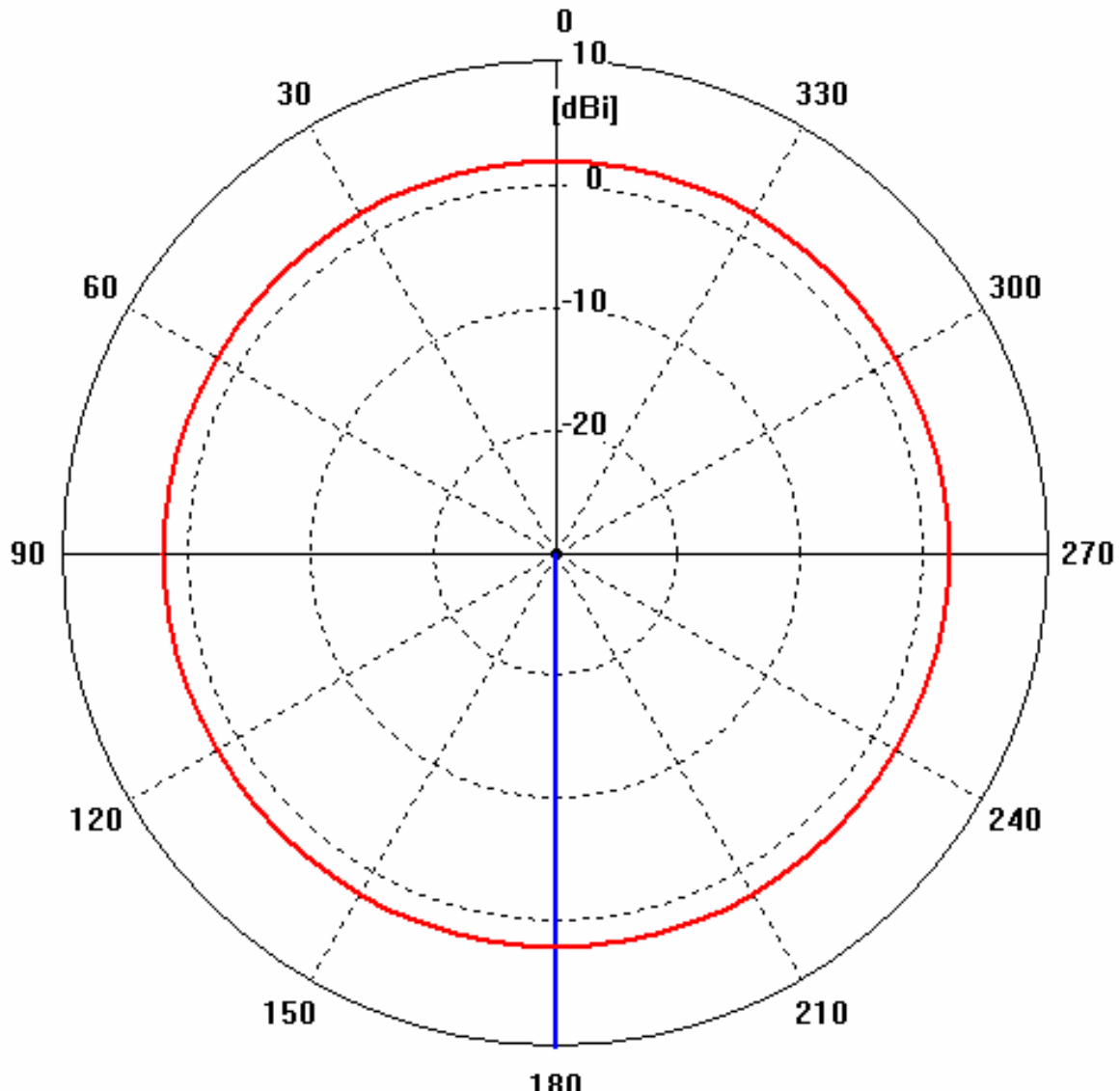


pe = Farfield  
proximation = enabled (kR >> 1)  
nitor = farfield (f=0.87) [1]  
mponent = Abs  
tput = Directivity  
equency = 0.87  
d. effic. = 0.9897  
t. effic. = 0.4965

# Esempio 1 : “meandro” (2/3)

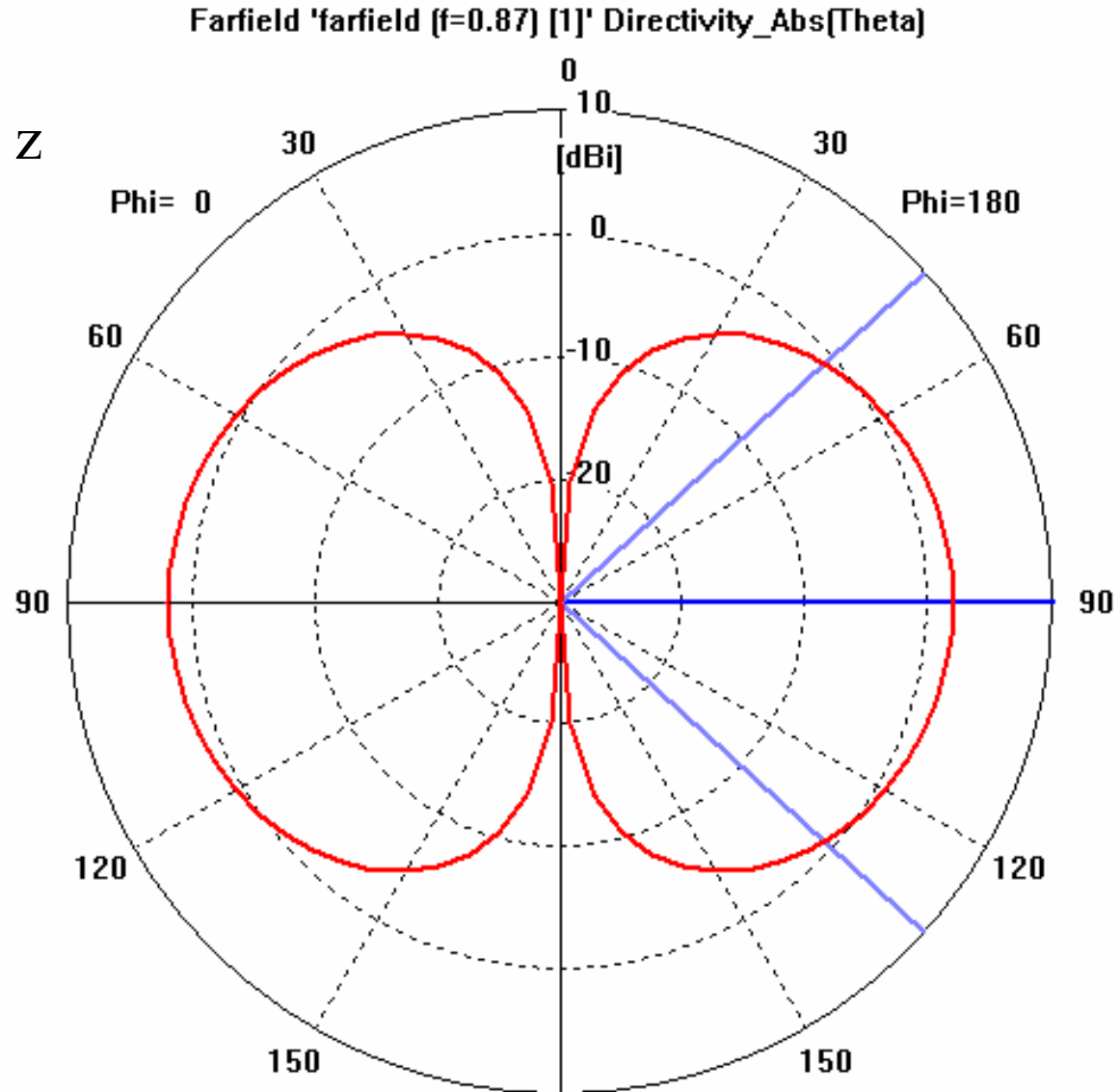
diagramma di radiazione  
piano xy

Farfield 'farfield (f=0.87) [1]' Directivity\_Abs(Phi); Theta= 90.0 deg.



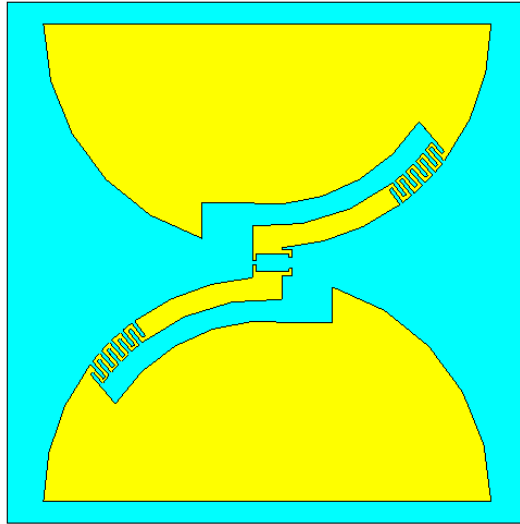
# Esempio 1 : “meandro” (3/3)

diagramma di radiazione  
piano passante per l'asse z

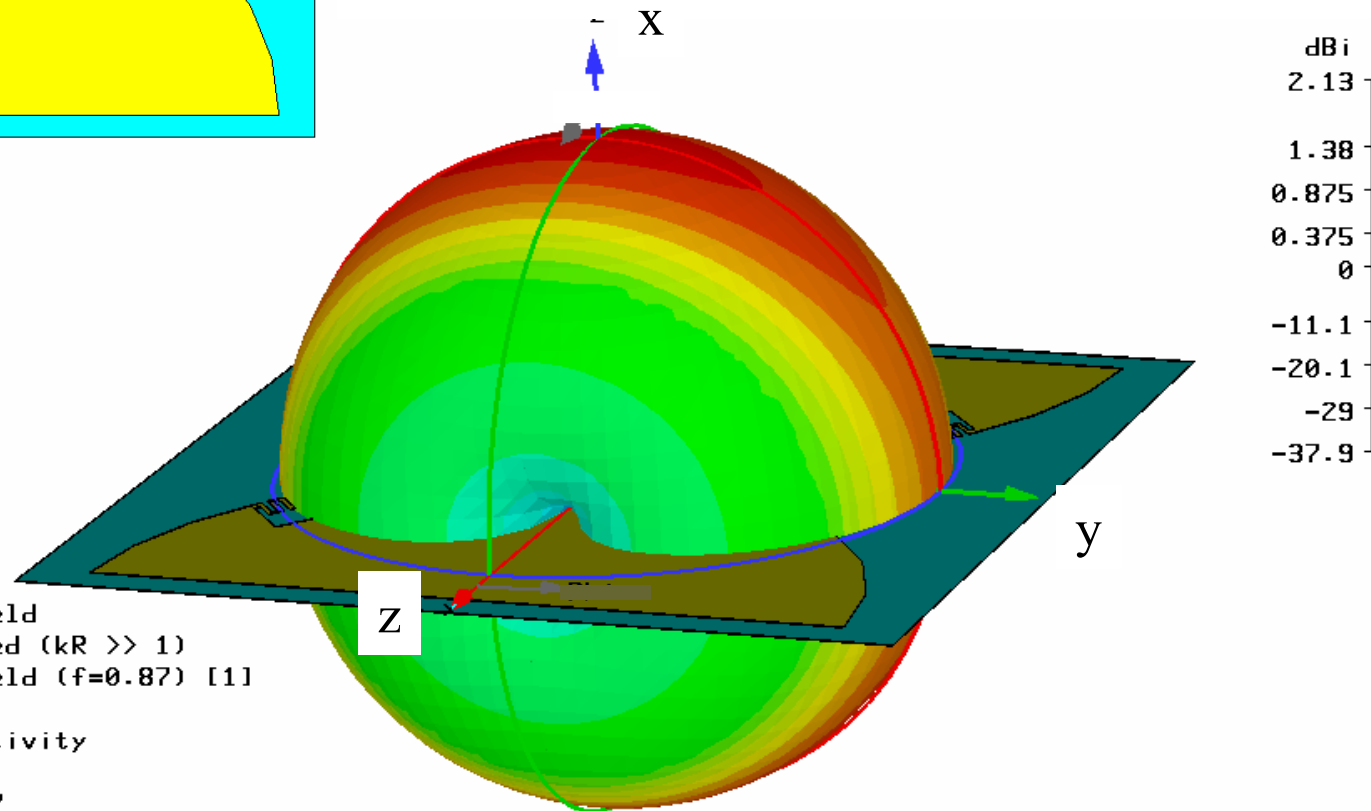


Frequency = 0.87  
Main lobe magnitude = 1.9 dBi  
Main lobe direction = 90.0 deg.  
Angular width [3 dB] = 84.5 deg.

# Esempio 2 : antenna “square” (1/3)



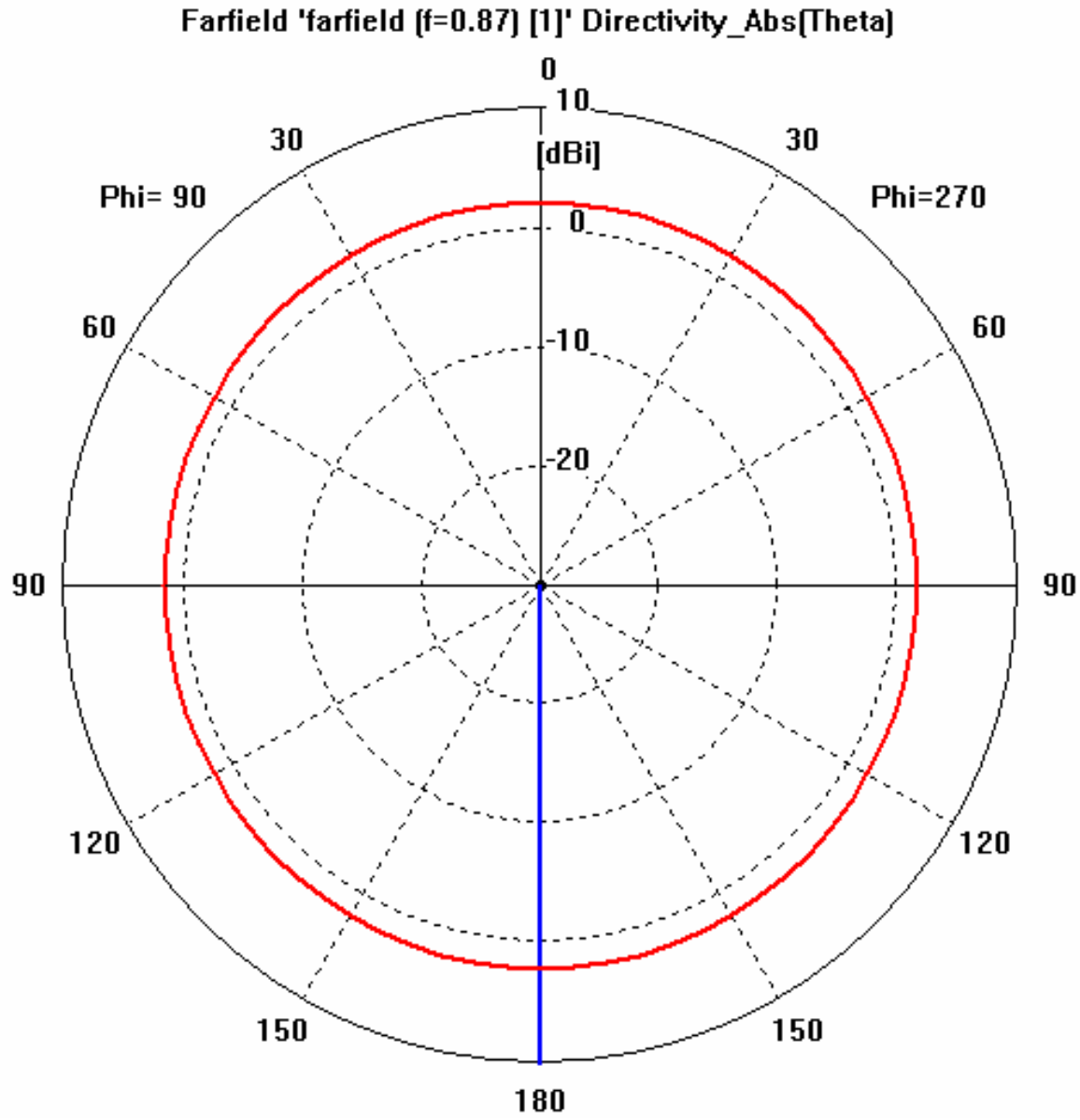
Applicazione: sistemi  
RFID passivi in banda  
UHF (870 MHz)



Type	= Farfield
Approximation	= enabled ( $kR \gg 1$ )
Monitor	= farfield ( $f=0.87$ ) [1]
Component	= Abs
Output	= Directivity
Frequency	= 0.87
Rad. effic.	= 0.9897
Tot. effic.	= 0.5475

# Esempio 2 : antenna “square” (2/3)

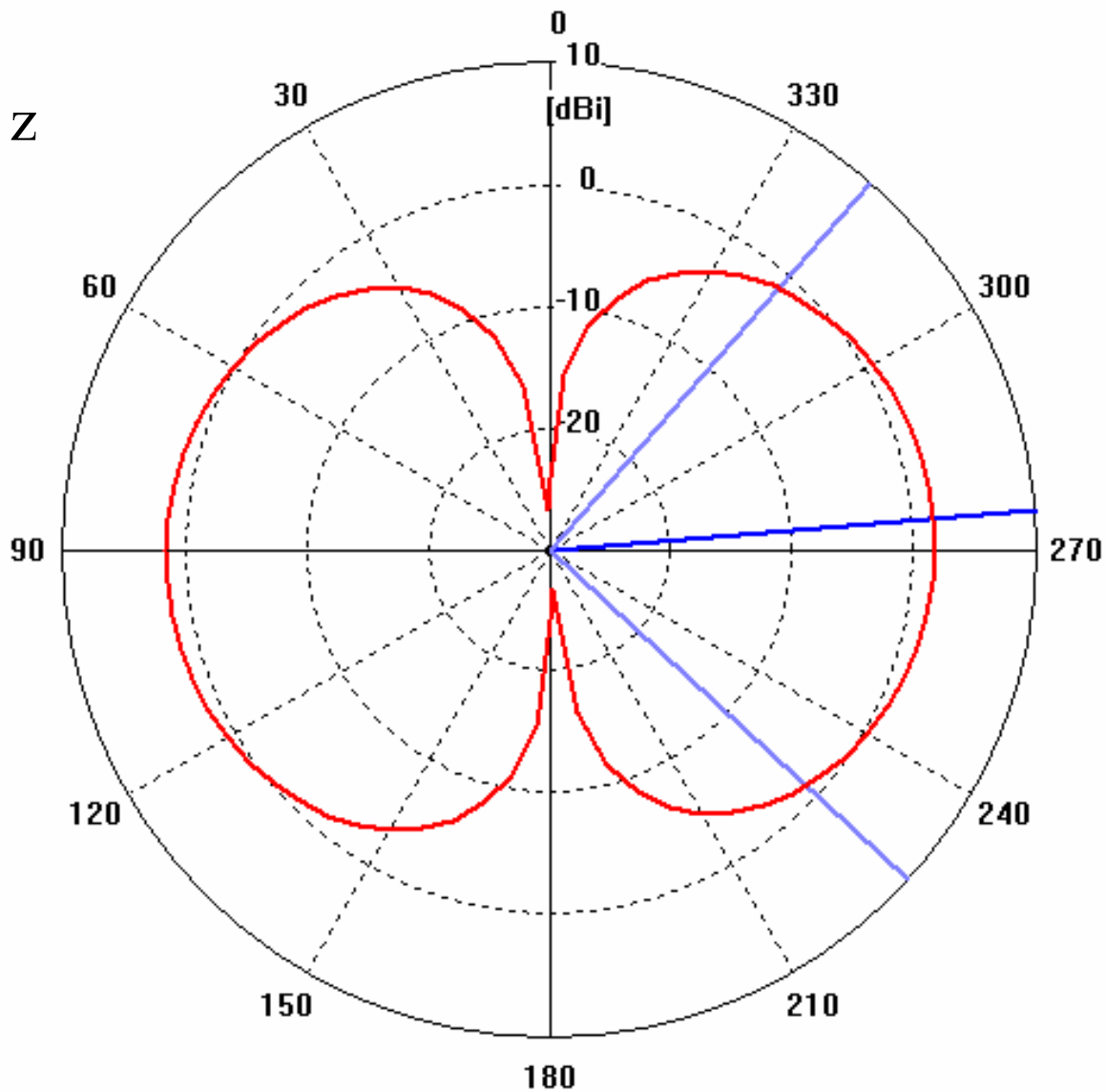
diagramma di radiazione  
piano xy



# Esempio 2 : antenna “square” (3/3)

diagramma di radiazione  
piano passante per l'asse z

Farfield 'farfield (f=0.87) [1]' Directivity\_Abs(PHI); Theta= 90.0 deg.



Frequency = 0.87  
Main lobe magnitude = 1.6 dBi  
Main lobe direction = 275.0 deg.  
Angular width (3 dB) = 91.3 deg.